

$$H_2 f + V_2 c = \Sigma (N) y \sin \alpha + \Sigma (N) \xi \cos \alpha \quad \text{und} \quad H_2 f - V_2 c = 0, \quad \text{woraus}$$

$$H_2 = \frac{\Sigma (N) y \sin \alpha + \Sigma (N) \xi \cos \alpha}{2 f} \quad \text{und} \quad V_2 = \frac{\Sigma (N) y \sin \alpha + \Sigma (N) \xi \cos \alpha}{2 c} \quad 290.$$

Es ist ferner

$$H = H_2 - \Sigma (N) \sin \alpha = \frac{\Sigma (N) y \sin \alpha + \Sigma (N) \xi \cos \alpha}{2 f} - \Sigma (N) \sin \alpha \quad \left. \right\} \quad 291.$$

$$H_1 = H_2 = \frac{\Sigma (N) y \sin \alpha + \Sigma (N) \xi \cos \alpha}{2 f}$$

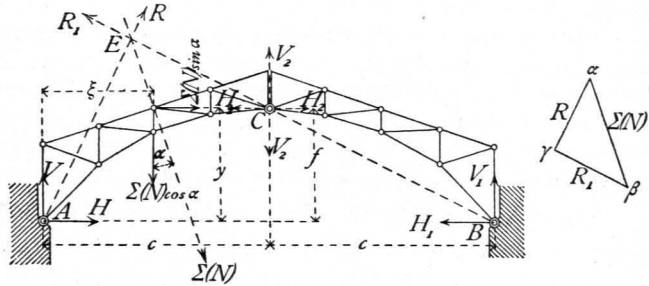
$$V = \Sigma (N) \cos \alpha - V_2 = \Sigma (N) \cos \alpha - \frac{\Sigma (N) y \sin \alpha + \Sigma (N) \xi \cos \alpha}{2 c} \quad \left. \right\} \quad 292.$$

$$V_1 = V_2 = \frac{\Sigma (N) y \sin \alpha + \Sigma (N) \xi \cos \alpha}{2 c}$$

Wenn die schiefen Belastungen einander nicht parallel sind, so bleibt das Verfahren das gleiche; nur sind statt $\Sigma (N) y \sin \alpha$ und $\Sigma (N) \xi \cos \alpha$ bzw. $\Sigma (N y \sin \alpha)$ und $\Sigma (N \xi \cos \alpha)$ in die Rechnung einzuführen.

Fig. 250.

Für die graphische Ermittlung der fraglichen Auflager-Reaktionen ist die in Fig. 250 angegebene Construction ohne Weiteres verständlich, und es ergibt sich $\beta \gamma = R_1$, $\gamma \alpha = R$.



Bei nicht parallelen Winddrücken ist für die graphische Behandlung zunächst die Mittelkraft derselben nach Größe, Richtung und Lage in bekannter Weise aufzufuchen, und alsdann zu verfahren, wie in Fig. 250 dargestellt.

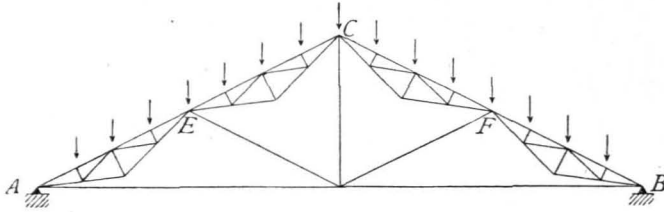
2. Kapitel.

Balkendächer.

Indem wir nunmehr zur Ermittlung der Spannungen in den wichtigsten Dachstuhl-Constructionen übergehen, werden wir bei den diesfälligen Untersuchungen für jede Gattung von Dachbindern die verschiedenen Belastungsfälle gefondert betrachten. Wir bestimmen demnach die Spannungen, welche erzeugt werden: 1) durch das Eigengewicht, 2) durch einseitige, bzw. totale Schneebelastung, 3) durch Windbelastung, fowohl von der Seite, an der das bewegliche, wie von der Seite, an welcher das feste Auflager liegt. Indem dann diese Spannungen in einer Tabelle zusammengestellt werden, ist es leicht, für jeden Stab die ungünstigste Belastungsart und die ungünstigsten Spannungen zu bestimmen, ferner für die Querschnittsbestimmung nach der neueren Methode (siehe Art. 283, S. 248) die Werthe P_0 , P_1 und P_2 zu ermitteln. Da die Dachbinder meist Gitterträger sind, so werden die im Kapitel »Träger« gezeigten Methoden für die Spannungsermittlung hier genau, wie dort Anwendung finden. Auch hier machen wir die Annahmen: 1) das die Stäbe in den Knotenpunkten durch Gelenke mit einander verbunden sind, 2) das die Lasten nur in den Knotenpunkten der Construction wirken. Die berechneten Spannungen werden desto mehr mit den wirklichen übereinstimmen, je mehr die Construction diesen Annahmen entspricht. Die zweite Annahme (Belastung nur in den Knotenpunkten) ist häufig nicht erfüllt; in diesem Falle kann man dennoch die in den folgenden Artikeln zu zeigenden Methoden anwenden, indem man annimmt, das die zwischen je zwei Knotenpunkten befindlichen Lasten durch besondere Träger auf die Knotenpunkte übertragen werden. Die Berechnung dieser Träger hat, wie im Kapitel »Träger« gezeigt ist, zu

erfolgen. Die Belastung, welche im Hauptsystem auf die Knotenpunkte übertragen wird, ist dann der Größe und Richtung nach gleich den auf die Zwischenträger wirkenden Auflager-Reaktionen. Der Sinn ist entgegengesetzt. In Fig. 251 z. B. sind zwischen je zwei Knotenpunkten des Hauptsystems Pfetten, demnach Lastpunkte. Das

Fig. 251.



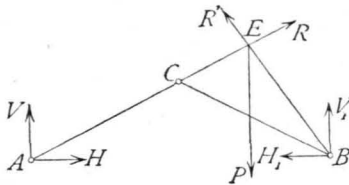
Stück CE kann wie ein besonderer, in C und E frei aufliegender Träger aufgefasst und berechnet werden; ebenso verhält es sich mit dem Stück AE . Im Punkte C des Hauptsystems wirken dann die linke Auflager-Reaktion des Balkens CE und die rechte Auflager-Reaktion des Balkens AE nach unten, außerdem noch die Belastung der Pfette in E . Demnach sind die Spannungen im System auch hier zunächst genau so zu berechnen, als wenn die Gesamtlasten nur in den Hauptknotenpunkten A, C, E, F und B angriffen; zu diesen Spannungen im System kommen alsdann noch die in den kleinen Trägern AE, EC etc. stattfindenden Spannungen hinzu. Die Spannungen derjenigen Stäbe der kleinen Träger, welche mit den Linien AE, EC etc. zusammenfallen, addieren sich einfach zu den Spannungen in diesen Stäben.

Die erste Annahme (Anordnung von Gelenken in den Knotenpunkten) ist bei den hölzernen Dachbindern niemals, allein auch bei den eisernen Dachstuhl häufig nicht erfüllt; in neuester Zeit tritt aber bei letzteren immer mehr das Bestreben in den Vordergrund, auch in dieser Richtung die praktische Construction in Uebereinstimmung mit der gedachten Annahme zu bringen, und es sind bereits eine Anzahl von Bauwerken in dieser Weise ausgeführt worden. Die allgemeine Anordnung von Gelenken in den Knotenpunkten der eisernen Dachstühle ist wohl nur noch eine Frage der Zeit.

423.
Princip
der
Balkendächer.

Das einfachste Dach entsteht dadurch, dass sich zwei Sparren AC und BC gegen einander lehnen (Fig. 252). Jede Belastung desselben, etwa des Sparrens BC , durch eine Last P , erzeugt nach Art. 419 in A eine Reaction R , deren Richtung mit AC zusammenfällt, in B eine Reaction R' in der Richtung BE . Die Reactionen R und R' haben die horizontalen Componenten H und H_1 , und da außerdem hier keine horizontalen Kräfte auf das System wirken, so ist $H = H_1$. Diese horizontalen Componenten werden von den Seitenmauern des Gebäudes, event. von den sonstigen stützenden Constructionen geleistet; umgekehrt wirken Seitens des Daches die Kräfte H auf die Seitenmauern

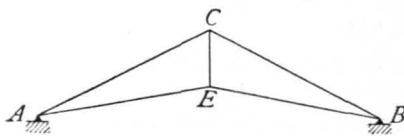
Fig. 252.



des Gebäudes, event. auf die sonstigen Stützen.

Die Stabilität der das Dach tragenden Wände, Stützen etc. macht es in den meisten Fällen wünschenswerth, dass diese Horizontalkräfte nicht auf dieselben übertragen werden; man verbindet deshalb die beiden Punkte A und B durch einen Stab oder eine Stangencombination, welche die Kräfte H und H_1 nach einem Punkte überträgt, in welchem sie alsdann einander aufheben. Dadurch erhält man, wenigstens für verticale Belastungen des Daches, nur verticale Auflager-Reaktionen und verticalen Druck auf die Wände, Stützen etc. Im einfachsten Falle besteht diese Stangencombination aus einem einfachen Holzbalken oder einer einfachen eisernen Zugstange AB ; statt dessen werden auch (Fig. 253) zwei Stangen AE und EB angeordnet, die sowohl nach oben wie

Fig. 253.



Im einfachsten Falle besteht diese Stangencombination aus einem einfachen Holzbalken oder einer einfachen eisernen Zugstange AB ; statt dessen werden auch (Fig. 253) zwei Stangen AE und EB angeordnet, die sowohl nach oben wie

nach unten von der Horizontalen abweichen können. Alsdann ist im Eckpunkte E eine weitere Verticalstange anzuordnen. Auch eine mehrfach gebrochene Stangencombination, so wie eine Curve kann zur Verbindung der Punkte A und B angeordnet werden. Beim Balkendach werden demnach stets die Horizontalkräfte, welche durch die verticalen Belastungen entstehen, durch die Stangencombination aufgehoben.

Je nach der Anordnung der eben erwähnten Stangencombination, bzw. je nach der Form der oberen und der unteren Gurtung, so wie der Anordnung der zwischen beiden gelegenen Stäbe kann man folgende Hauptgattungen von Dachstuhl unterscheiden:

424
Classification.

a) Einfaches Dreieckdach (Fig. 253). Dasselbe besteht aus zwei sich im First stützenden Sparren und einer den Horizontalzug aufhebenden Verbindung von zwei Stangen, welche sich in der Verticalen des Firstes schneiden. Diese beiden Stangen sind horizontal oder nach oben, bzw. nach unten geneigt. Zur Verbindung des Firstpunktes mit dem Schnittpunkt der Stangen, welche den Horizontal Schub aufnehmen, ist eine Verticalstange CE angeordnet.

b) Deutscher Dachstuhl (Fig. 254). Die obere Gurtung hat jederseits einen Knotenpunkt, dessen Last durch eine Stange nach E übertragen wird.

Fig. 254.

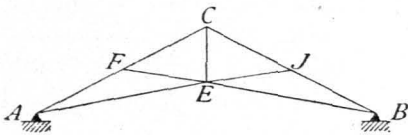
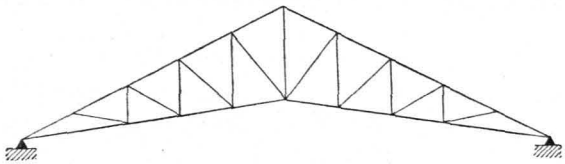


Fig. 255.



c) Englischer Dachstuhl (Fig. 255). Die obere Gurtung hat jederseits eine Anzahl von Knotenpunkten; die obere Gurtung und die den Horizontal Schub aufhebende Stangenverbindung (die untere Gurtung) sind durch Gitterwerk mit einander verbunden. Das Gitterwerk besteht aus einer Schaar Verticalen und einer Schaar Diagonalen oder aus zwei Schaaren von Diagonalen, von denen die eine vortheilhaft normal zur Dachneigung steht.

d) Französischer oder belgischer oder *Polonceau*-Dachstuhl (Fig. 256 bis 259). Er entsteht aus dem einfachen Dreieckdach durch Verwendung je zweier

Fig. 256.

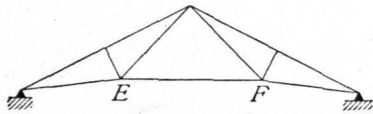


Fig. 258.

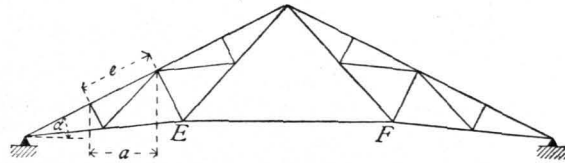


Fig. 257.

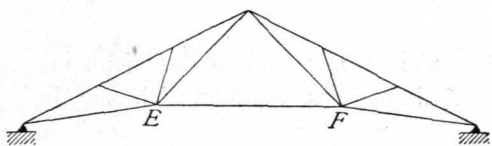
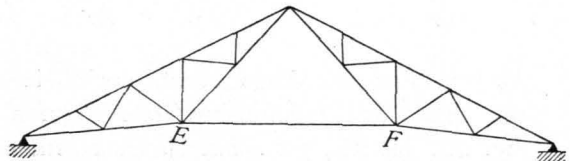


Fig. 259.



armirten Träger statt der einfachen Sparren. Die Form der armirten Träger richtet sich nach der Anzahl von Stützpunkten (Knotenpunkten), welche jederseits nöthig werden. Der Horizontal Schub wird durch eine Stange EF aufgehoben, welche die unteren Knotenpunkte der beiden armirten Träger verbindet. In Fig. 256 bis 259 sind *Polonceau*-Dachstuhl für 1, 2, 3 und 4 Lastpunkte an jeder Seite des Firtes dargestellt.

Man unterscheidet:

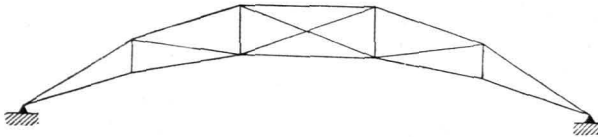
1) den einfachen *Polonceau*-Dachstuhl; bei demselben hat der armirte Balken jederseits nur einen Knotenpunkt in der unteren Gurtung (Fig. 256 u. 257);

2) den zusammengesetzten *Polonceau*-Dachstuhl; bei diesem sind in den Hauptträger noch secundäre Constructionen eingeschaltet, so daß der armirte Balken in der unteren Gurtung jederseits mehrere Knotenpunkte hat (Fig. 258 u. 259).

Die Anzahl der Lastpunkte bestimmt sich nach der Tragweite, welche man den Sparren geben kann. Es sei letztere e , also die Horizontalprojection derselben $e \cos \alpha = a$, die Gesamttstützweite des Daches L ; alsdann ergibt sich die Anzahl derselben zu $n = \frac{L}{e \cos \alpha} = \frac{L}{a}$; e kann man nach der Stärke der Sparren etwas variiren; n muß natürlich eine ganze gerade Zahl sein.

e) Sieldach (Fig. 260). Die obere und die untere Gurtung sind nach einer Curve gekrümmt oder nach einem der Curve eingeschriebenen Polygön gebildet;

Fig. 260.



das Gitterwerk ist verschieden. Man kann hierher auch die Träger mit gekrümmter oberer und geradliniger unterer Gurtung rechnen.

Bei den vorstehend aufgeführten Dächern ist stets angenommen, daß die beiden

Gurtungen sich über dem Auflager schneiden; die Formen sind aber auch möglich, ohne daß die Schnittpunkte der Gurtungen in den Auflager-Verticalen liegen.

Fig. 261.

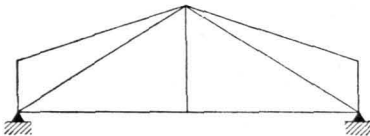


Fig. 262.

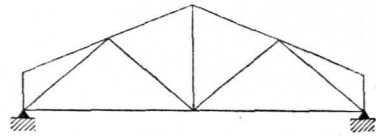


Fig. 263.

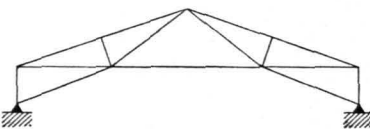
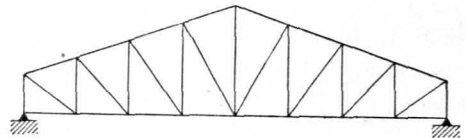


Fig. 264.



Als dann sind allerdings event. noch Diagonalen anzuordnen, um unverschiebliche, aus Dreiecken zusammengesetzte Figuren zu erhalten. Es ergeben sich die in Fig. 261 bis 264 gezeichneten Dachformen.

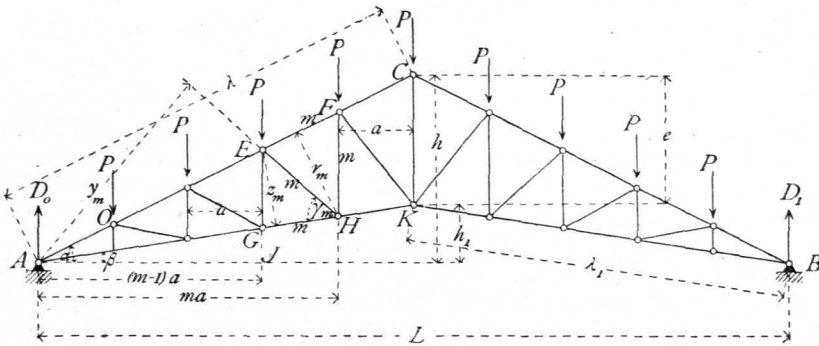
a) Englische Dachstuhl.

Die Belastungsgefetze und Spannungsermittlungen sollen für einen Dachstuhl mit Verticalen und nach der Mitte zu fallenden Diagonalen gezeigt werden; für andere Anordnungen des Gitterwerkes ergeben sich aus den im Nachstehenden anzuführenden Gefetzen und Methoden die Modificationen ohne Schwierigkeit.

1) Berechnung der Spannungen. α) Belastung durch das Eigengewicht, bezw. totale Schneebelastung (Fig. 265). Die Belastung pro Knotenpunkt sei P , die Stützweite L , die Entfernung der Knotenpunkte, horizontal ge-

425.
Berechnung
d. Spannungen
durch verticale
Belastung.

Fig. 265.



messen, a . Der Dachstuhl habe $2n$ Felder; mithin ist $L = 2na$. Die Winkel der oberen, bezw. unteren Gurtung mit der Horizontalen seien α und β . Die Auflager-
Reactionen sind $D_0 = D_1 = \frac{(2n - 1)P}{2}$.

Für die m -te Stange EF der oberen Gurtung ist H der conjugirte Punkt, also

$$0 = X_m r_m + D_0 m a - (m - 1) P \frac{m a}{2},$$

woraus

$$X_m = \frac{-\frac{(2n - 1)P m a}{2} + (m - 1) P \frac{m a}{2}}{r_m}.$$

Nun ist $r_m = \overline{AH} \sin(\alpha - \beta)$ und $\overline{AH} = \frac{m a}{\cos \beta}$; fonach

$$r_m = m a \frac{\sin(\alpha - \beta)}{\cos \beta} = m a \cos \alpha (\operatorname{tg} \alpha - \operatorname{tg} \beta)$$

und

$$X_m = -\frac{P(2n - m)}{2 \cos \alpha (\operatorname{tg} \alpha - \operatorname{tg} \beta)} \dots \dots \dots 293.$$

Oft ist es unbequem, mit den Winkelwerthen zu rechnen; dann giebt man der Formel folgende Gestalt. Es ist $\operatorname{tg} \alpha = \frac{2h}{L}$, $\operatorname{tg} \beta = \frac{2h_1}{L}$, $h - h_1 = e$ und $\cos \alpha = \frac{L}{2\lambda}$; durch Einsetzung dieser Werthe wird

$$X_m = -\frac{P \lambda (2n - m)}{2 e} \dots \dots \dots 294.$$

Für die m -te Stange GH der unteren Gurtung ist E der conjugirte Punkt, mithin

426.
Spannungen
in den
Gurtungen.

$$0 = D_0 (m - 1) a - P (m - 2) \frac{(m - 1) a}{2} - Z_m z_m,$$

woraus

$$Z_m = \frac{(2n - 1) P (m - 1) a - P (m - 2) (m - 1) \frac{a}{2}}{z_m}.$$

Nun ist $z_m = \overline{AE} \sin(\alpha - \beta)$ und $\overline{AE} = \frac{(m - 1) a}{\cos \alpha}$, demnach

$$Z_m = \frac{P (2n - m + 1)}{2 \cos \beta (\operatorname{tg} \alpha - \operatorname{tg} \beta)} \dots \dots \dots 295.$$

Da $\cos \beta = \frac{L}{2 \lambda_1}$ ist und $\operatorname{tg} \alpha$, so wie $\operatorname{tg} \beta$ die oben angegebenen Werthe haben, so wird auch

$$Z_m = \frac{P \lambda_1 (2n - m + 1)}{2 e} \dots \dots \dots 296.$$

Die Gleichungen 295. und 296. gelten nicht für die erste Stange der unteren Gurtung am Auflager; denn die Formel ist unter der Annahme entwickelt, daß als Drehpunkt für die Gleichung der statischen Momente derjenige Punkt der oberen Gurtung gewählt wird, welcher in die $(m - 1)$ -te Verticale fällt; dies würde für $m = 1$ der Punkt A sein, und es gäbe für diesen Fall die Gleichung der statischen Momente für A als Drehpunkt kein Resultat, weil alle Kräfte am Fragment dann durch A gehen, also das statische Moment Null haben. Man erhält Z_1 durch Aufstellung der Gleichung der statischen Momente für irgend einen beliebigen Punkt, etwa O (Fig. 266). Es wird, wenn der Hebelsarm von Z_1 in Bezug auf den Drehpunkt O gleich z_2 ist,

$$Z_1 = \frac{D_0 a}{z_2} = \frac{(2n - 1) P a}{2 a \cos \beta (\operatorname{tg} \alpha - \operatorname{tg} \beta)} = \frac{(2n - 1) P \lambda_1}{2 e} \dots \dots \dots 297.$$

Derselbe Werth ergibt sich für $m = 2$, d. h. für den zweiten Stab der unteren Gurtung.

Für die m -te Diagonale EH , wie für alle Diagonalen der linken Dachhälfte ist A der conjugirte Punkt, mithin

$$0 = Y_m y_m + (m - 1) \frac{P m a}{2}, \text{ woraus } Y_m = - \frac{P m a (m - 1)}{2 y_m}.$$

Da nun $y_m = \frac{m a \sin \gamma_m}{\cos \beta}$ ist, wird $Y_m = - \frac{P}{2} (m - 1) \frac{\cos \beta}{\sin \gamma_m}$.

Durch einfache trigonometrische Umformungen erhält man

$$Y_m = - \frac{P \sqrt{1 + [(m - 1) \operatorname{tg} \alpha - m \operatorname{tg} \beta]^2}}{2 (\operatorname{tg} \alpha - \operatorname{tg} \beta)} \dots \dots \dots 298.$$

und durch Fortschaffung der Winkelwerthe

$$Y_m = - \frac{P}{4 e} \sqrt{L^2 + 4 (m e - h)^2} \dots \dots \dots 299.$$

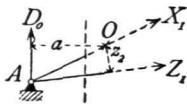
Für die m -te Verticale FH ist der Schnitt schräg zu legen; als conjugirter Punkt ergibt sich A ; mithin heißt die Gleichung der statischen Momente für A als Drehpunkt

$$0 = V_m m a - (m - 1) \frac{P m a}{2}, \text{ woraus } V_m = \frac{P (m - 1)}{2} \dots \dots 300.$$

Für $m = 1$ ergibt diese Gleichung $V_m = 0$; die erste Verticale ist also überflüssig und kann fortbleiben.

Die Gleichung gilt nicht für die mittlere Verticale; denn wenn bei dieser der Schnitt eben so gelegt wird, wie bei den anderen Verticalen, so werden vier Stäbe getroffen; A ist also hier nicht der conjugirte Punkt. Man bestimmt die Spannung in dieser Mittelverticalen durch Aufstellung der Gleichgewichtsbedingungen für den Firstknotenpunkt (Fig. 267). Für diesen ist

Fig. 266.



427.
Spannungen
in den
Diagonalen.

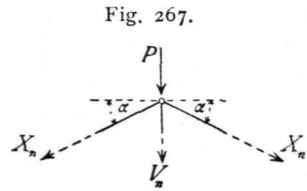
428.
Spannungen
in den
Verticalen.

$$0 = V_n + P + 2 X_n \sin \alpha, \text{ woraus } V_n = -P - 2 X_n \sin \alpha,$$

und da nach Gleichung 293. $X_n = -\frac{P n}{2 \cos \alpha (\operatorname{tg} \alpha - \operatorname{tg} \beta)}$ ist, so wird

$$V_n = P \left(\frac{n \operatorname{tg} \alpha}{\operatorname{tg} \alpha - \operatorname{tg} \beta} - 1 \right) \dots \dots \dots 301.$$

Die Gleichungen 293. bis 300. gelten für die Stäbe links von der Mitte; die zur Mitte, symmetrisch liegenden Stäbe der anderen Dachhälfte werden in genau gleicher Weise beansprucht; die Gleichungen können sofort auch für die rechte Dachhälfte angewendet werden, wenn die m von B aus gerechnet werden.



Die Betrachtung der Gleichungen 293. bis 300. ergibt Folgendes:

a) Durch das Eigengewicht, bezw. durch gleichmäßige Belastung des ganzen Dachbinders erhalten alle Stäbe der oberen Gurtung Druck, alle Stäbe der unteren Gurtung Zug. Wenn die Diagonalen nach der Mitte zu fallen, erhalten dieselben bei der erwähnten Belastung Druck, die Verticalen Zug. Man sieht leicht, daß, wenn die Diagonalen nach der Mitte zu steigen, dieselben bei der gleichen Belastung gezogen, die Verticalen gedrückt werden.

b) Je größer β wird, desto kleiner wird der Factor $(\operatorname{tg} \alpha - \operatorname{tg} \beta)$ und das Product $\cos \beta (\operatorname{tg} \alpha - \operatorname{tg} \beta)$; desto größer werden daher sowohl X_m , wie Z_m , da die Ausdrücke, sowohl für X , wie für Z die erwähnten Factoren im Nenner haben. Für negative Werthe von β , d. h. wenn die Zuggurtung nach unten von der Horizontalen abweicht, wird

$$X'_m = -\frac{P(2n-m)}{2 \cos \alpha (\operatorname{tg} \alpha + \operatorname{tg} \beta)} \text{ und } Z'_m = \frac{P(2n-m+1)}{2 \cos \beta (\operatorname{tg} \alpha + \operatorname{tg} \beta)} \quad 302.$$

Je größer (absolut genommen) die negativen Werthe von β werden, desto größer werden die Nenner in den beiden Gleichungen 302., desto kleiner also X'_m und Z'_m . Für den Materialaufwand zu den Gurtungen ist es also günstig, das positive β möglichst klein, das negative β möglichst groß zu nehmen.

c) Für $\beta = 0$, d. h. wenn die untere Gurtung eine gerade Linie bildet, ist

$$X_m = -\frac{P(2n-m)}{2 \sin \alpha} \text{ und } Z_m = \frac{P(2n-m+1)}{2 \operatorname{tg} \alpha} \dots \dots 303.$$

$$Y_m = -\frac{P \sqrt{1+(m-1)^2 \operatorname{tg}^2 \alpha}}{2 \operatorname{tg} \alpha}, \quad V_m = \frac{P(m-1)}{2} \text{ und } V_n = P(n-1) \quad 304.$$

β) Ungünstigste verticale Belastung. Jede verticale Belastung des Trägers erzeugt (nach Art. 362, S. 325) ein positives Moment in allen Querschnitten der Gurtungen. Sind nun (Fig. 265) die in den Stäben EF , bezw. GH durch eine beliebige verticale Belastung erzeugten Spannungen X_m , bezw. Z_m und die Momente für die bezüglichen conjugirten Punkte H und E gleich M_m und M_{m-1} , so wird

$$X_m = -\frac{M_m}{r_m} \text{ und } Z_m = \frac{M_{m-1}}{z_m}.$$

X_m und Z_m erreichen ihre Maximalwerthe gleichzeitig mit M_m , bezw. M_{m-1} , d. h. bei totaler Belastung des Trägers. Die Belastung des ganzen Daches durch Schneedruck wird also für die Gurtungsstäbe die ungünstigste sein. Die dann sich ergebenden Spannungen folgen aus den Gleichungen 293. bis 297., indem dort statt P die Knotenpunktsbelastung durch Schnee- und Eigengewicht eingesetzt wird.

Man erhält, wenn b der Binderabstand ist, q' die Bedeutung, wie in Art. 413, S. 379 hat,

429.
Ungünstigste
Belastung.

$$P = G + S = a b (q' + 75 \text{ kg})$$

und daraus leicht X_m und Z_m .

Wenn die Diagonalen nach der Mitte zu fallen, so erzeugt eine Last P rechts von dem durch die Diagonalenmitte gelegten Verticalschnitt II (Fig. 268) in A die Reaction D_0 . Auf das Fragment links vom Schnitt wirken jetzt D_0 und die drei Stabspannungen X , Y und Z . Für Y ist A der conjugirte Punkt, und die Gleichung der statischen Momente für A als Drehpunkt lautet $0 = Yy$, d. h. $Y = 0$.

Liegt eine Last P links vom Schnitte II , so betrachten wir das Fragment

Fig. 268.

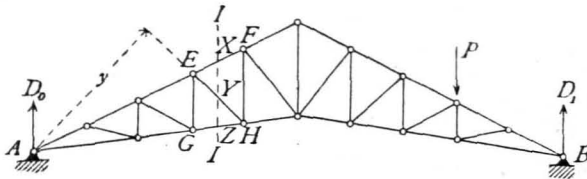
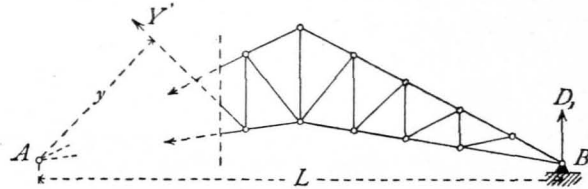


Fig. 269.



rechts vom Schnitte (Fig. 269); für dieses heißt die Gleichung der statischen Momente in Bezug auf den Punkt A als Drehpunkt

$$0 = Y'y + D_1 L, \quad \text{woraus} \quad Y' = -\frac{D_1 L}{y}.$$

Steigen die Diagonalen nach der Mitte zu, so ergibt sich, wenn die Last rechts vom Schnitte liegt, genau wie vorhin, daß in den Diagonalen die Spannung Null entsteht. Liegt dagegen die Last links vom Schnitt, so folgt

$$Y' = +\frac{D_1 L}{y'}.$$

Die für die Diagonalen gefundenen Resultate gelten, so lange A der conjugirte Punkt der Diagonalen ist, d. h. für alle Diagonalen links der Mitte. Für die Diagonalen rechts der Mitte ist B der conjugirte Punkt, und es ergibt sich in gleicher Weise, wie eben gezeigt, daß in diesen jede Belastung rechts vom Schnitte eine Druck-, bzw. Zugspannung erzeugt, je nachdem sie nach der Mitte zu fallen oder steigen; jede Belastung links vom Schnitte ruft dagegen in denselben die Spannung Null hervor.

Allgemein folgt hieraus: Jede Belastung zwischen dem durch die Diagonale gelegten Verticalschnitte und demjenigen Auflager, welches für die Diagonale nicht den conjugirten Punkt bildet, hat auf die Spannung in der Diagonalen gar keinen Einfluß. Jede Belastung zwischen dem Verticalschnitt und dem Auflager, welches für die Diagonale den conjugirten Punkt bildet, erzeugt in den nach den Mitte zu fallenden Diagonalen Druck, in den nach der Mitte zu steigenden Diagonalen Zug. Die ungünstigsten Belastungsarten würden also diejenigen sein, bei denen die ganze Zug-, bzw. Druckabtheilung belastet wäre. Da aber die Belastung des übrigen Trägertheiles ohne Einfluß auf die Diagonalspannung ist, so können wir auch sagen: Die ungünstigste Beanspruchung aller Diagonalen durch verticale Lasten findet bei totaler Belastung statt, und zwar werden die nach der Mitte zu steigenden Diagonalen gezogen, die nach der Mitte zu fallenden Diagonalen gedrückt.

Für die ungünstigste Belastung der Verticalen ergibt sich durch die gleiche Beweisführung, wie bei den Diagonalen, wenn die Schnitte schräg gelegt werden:

Jede Belastung zwischen dem durch eine Verticale gelegten schrägen Schnitt und dem Auflager, welches für die Verticalen nicht den conjugirten Punkt bildet, erzeugt in der Verticalen die Spannung Null; jede Belastung zwischen dem Schnitte und demjenigen Auflager, welches den conjugirten Punkt bildet, erzeugt in der Verticalen Zug, wenn die Diagonalen nach der Mitte zu fallen, Druck, wenn die Diagonalen nach der Mitte zu steigen. Auch hier findet demnach Maximaldruck, bezw. -Zug bei totaler Belastung des Trägers statt.

Das hier gefundene Gesetz gilt, so lange die geradlinigen Gurtungen sich in den Auflager-Verticalen schneiden, also auch, wie man leicht sieht, für die Anordnung von zwei Schaaren Diagonalen nach Fig. 270.

Es kann also für alle Stäbe des englischen Dachstuhl die totale Belastung durch Schnee und Eigengewicht als ungünstigste Verticalbelastung der Berechnung zu Grunde gelegt werden.

Die bezüglichen Maximalwerthe sind in Art. 426 bis 428 entwickelt.

γ) Belastung durch Winddruck. Es ist nicht nothwendig, für jeden Stab die ungünstigste Windbelastungsart zu ermitteln, weil der Winddruck stets auf eine ganze Dachhälfte wirken wird; dagegen sind die sämtlichen Stabspannungen sowohl für den Fall zu ermitteln, daß der Winddruck jene Seite belastet, an welcher das bewegliche Auflager liegt, als daß er diejenige Seite belastet, an welcher sich das feste Auflager befindet.

430.
Berechnung
d. Spannungen
durch
Winddruck.

Man ermittelt bei diesen beiden Belastungsarten für jeden Stab den conjugirten Punkt, das Biegemoment der äußeren Kräfte für diesen Punkt und daraus in bekannter Weise die Stabspannungen. Es empfiehlt sich dabei, für die Auffuchung des Biegemomentes jede Knotenpunktsbelastung in eine horizontale und eine verticale Componente zu zerlegen; die Ermittlung der Hebelsarme wird dadurch wesentlich vereinfacht. In den Fig. 277 u. 279 sind die horizontalen und verticalen Componenten der Winddrücke sowohl für den Fall, daß der Wind von der Seite des beweglichen Auflagers, als auch für den Fall, daß er von der Seite des festen Auflagers kommt, angegeben.

2) Graphische Ermittlung der Spannungen. Hier empfiehlt sich die *Cremona'sche* Methode am meisten, weil für die Spannungen aller Stäbe die gleichen Belastungsarten zu Grunde gelegt werden.

431.
Graphische
Ermittlung
der
Spannungen.

α) Belastung durch das Eigengewicht und Schneedruck. Man nimmt entweder die sämtlichen Eigenlasten in den oberen Knotenpunkten vereinigt an oder berechnet die Eigengewichte, welche in den Knotenpunkten der unteren Gurtung angreifen, besonders. In beiden Fällen ist das Verfahren genau wie im Kapitel »Träger« (Art. 382, S. 342) gezeigt ist.

In der graphischen Ermittlung der Fig. 271 und 272 ist die zweite Annahme gemacht worden; die Eigengewichte, welche auf die Auflagerpunkte *A* und *B* kommen, sind fortgelassen, weil sie direct von den Auflagern aufgenommen werden, demnach das System nicht belasten. Alsdann sind die am System wirkenden äußeren Kräfte in cyclischer Reihenfolge aufgetragen: zuerst die Lasten der oberen Gurtung 1, 2, 3 . . . 7; an den Endpunkt von 7 ist D_1 getragen; letzteres fällt mit der Kraftlinie 1, 2, 3 . . . 7 zusammen, wie überhaupt alle äußeren Kräfte hier in dieselbe Kraftlinie fallen. Der größeren Deutlichkeit halber sind aber die Lasten 1 bis 7, D_1 , ferner die Lasten der unteren Gurtung

Fig. 270.

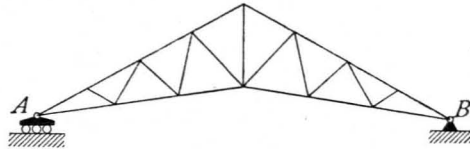


Fig. 271.

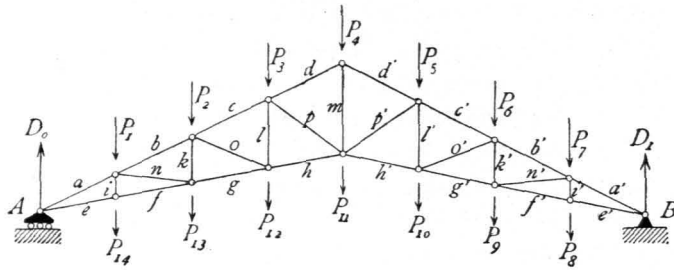
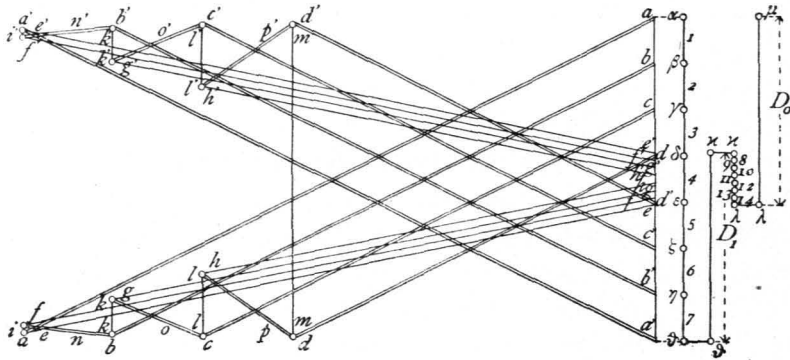


Fig. 272.



und D_0 etwas seitwärts aufgetragen. Wir erhalten $D_1 = \delta \kappa$; δ bis $t_4 = \kappa \lambda$; $D_0 = \lambda \mu$; μ fällt demnach eigentlich auf α , wonach sich also das Kraftpolygon schließt.

Für die Construction des Kräfteplanes sind selbstverständlich als Grenzpunkte der einzelnen äußeren Kräfte die Punkte auf der Linie $a a'$ einzuführen, welche mit den gezeichneten auf gleicher Höhe liegen. Der Kräfteplan ist nun genau, wie früher angegeben, in Fig. 272 construirt, worüber keine weiteren Bemerkungen nöthig sind.

Die Construction der Spannungen durch totale Schneebelastung ist in gleicher Weise vorzunehmen.

β) Belastung durch Winddruck. In Fig. 274 und 275 sind die Kräftepläne sowohl für den von der Seite des beweglichen, wie für den von der Seite des festen Auflagers kommenden Winddruck construirt. Auf den Auflagerpunkt und den Firstpunkt kommen bei gleicher Entfernung aller Knotenpunkte die Hälften der auf die anderen Knotenpunkte entfallenden Belastungen; bei anderen Entfernungen der Knotenpunkte sind die Belastungen dieser Punkte aus den auf sie kommenden Dachflächen gleichfalls leicht zu ermitteln.

Zunächst sind nun die Auflager-Reactionen, wie in Art. 417, S. 381 gezeigt, construirt, worauf der Kräfteplan in bekannter Weise sich ergibt. In Fig. 273 sind die äußeren Kräfte für die Belastung der linken Dachhälfte ausgezogen, für die Belastung der rechten Dachhälfte punktirt.

Es möge hier darauf aufmerksam gemacht werden, daß auf der nicht belasteten Seite sämtliche Diagonalen die Spannung Null, die oberen, so wie die unteren Gurtungsstäbe sämtlich je gleiche Spannungen erhalten. Die Richtigkeit dieser Resultate ergibt sich leicht aus folgender Betrachtung.

Wenn sich in einem unbelasteten Knotenpunkte (Fig. 276) drei Stäbe schneiden, von denen zwei in eine gerade Linie fallen, so ist, wenn Gleichgewicht stattfindet, $X - X_1 + Y \cos \varphi = 0$ und $Y \sin \varphi = 0$, d. h. $Y = 0$, also auch $X - X_1 = 0$, d. h. $X = X_1$. Die Spannungen in den beiden in eine gerade Linie fallenden Stäben sind also einander gleich; die Spannung im dritten Stabe ist gleich Null.

Falls der Wind, wie in Fig. 273 durch die ausgezogenen Pfeile angedeutet ist, die linke Seite belastet, so wirkt auf den Knotenpunkt G keine äußere Kraft; mithin wird $e' = f'$ und $i' = 0$. Auch auf H wirkt keine äußere Kraft; da nun $i' = 0$ ist, also als nicht vorhanden zu betrachten ist, so folgt $n' = 0$

Fig. 273.

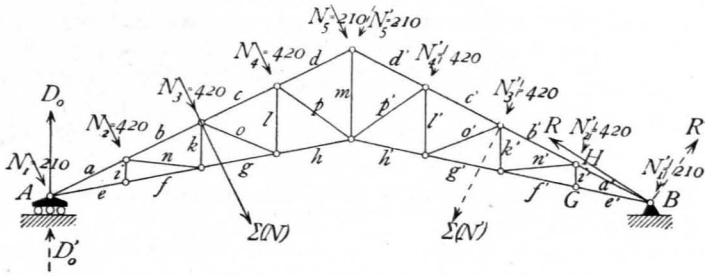


Fig. 274.

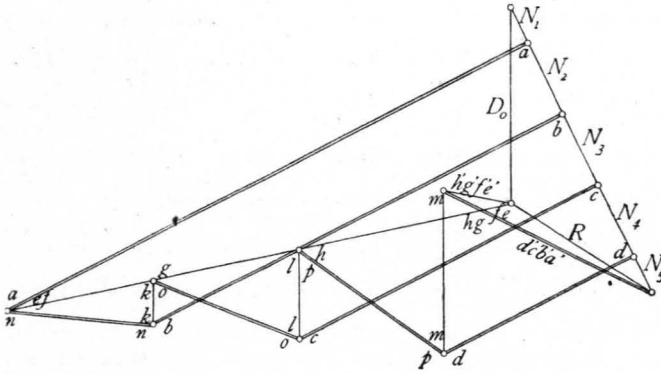
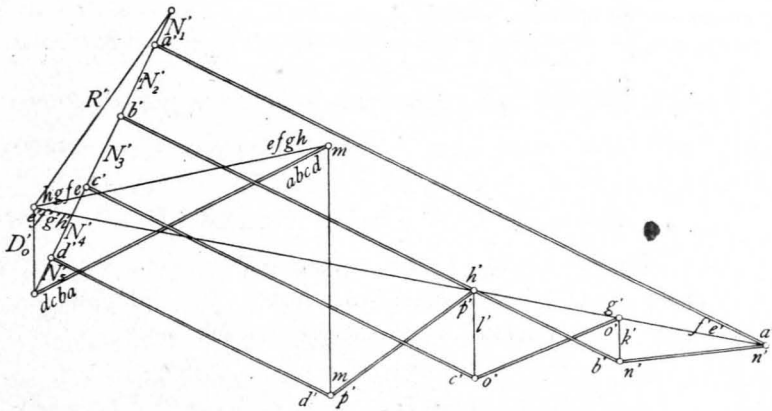


Fig. 275.

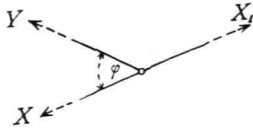


und $a' = b'$. Eben so ergibt sich weiter $a' = b' = c' = d'$; $e' = f' = g' = h'$; $i' = n' = k' = o' = p' = q' = 0$.

Beispiel. Berechnung eines englischen Dachstuhles (Fig. 277) von nachfolgenden Hauptdimensionen: Stützweite $L = 16\text{m}$; Firnhöhe $h = 4\text{m}$; $\frac{h}{L} = \frac{1}{4}$; $a = 2\text{m}$; $2n = 8$; $\text{tg } \alpha = \frac{4}{8} = 0,5$; $h_1 = 1,6\text{m}$; $\text{tg } \beta = \frac{1,6}{8} = 0,2$; $e = h - h_1 = 2,4\text{m}$; $\lambda = \sqrt{4^2 + 8^2} = 8,94\text{m}$; $\lambda_1 = \sqrt{1,6^2 + 8^2} = 8,16\text{m}$; $\sin \alpha = \frac{h}{\lambda} = \frac{4}{8,94} = 0,447$; $\cos \alpha = \frac{8}{\lambda} = \frac{8}{8,94} = 0,895$; $\sin \beta = \frac{h_1}{\lambda_1} = \frac{1,6}{8,16} = 0,196$; $\cos \beta = \frac{8}{\lambda_1} = \frac{8}{8,16} = 0,98$; die Binderweite ist $4,3\text{m}$; die Dachdeckung ist Eifenwellenblech auf Winkleifen; das Gitterwerk besteht aus Verticalen und nach der Mitte zu fallenden Diagonalen. Die Belastungen ergeben sich wie folgt. Auf einen Knotenpunkt kommt eine Grundfläche von

432.
Beispiel.

Fig. 276.



2 · 4,3 = 8,6 qm, eine schräge Dachfläche von 4,3 $\frac{\lambda}{4} = \frac{4,3 \cdot 8,94}{4} = 9,61$ qm.

Mithin ist nach der Tabelle auf S. 377 das Eigengewicht pro 1 qm Grundfläche excl. des Bindergewichtes gleich 25 kg. Rechnet man das Gewicht des Binders pro 1 qm Grundfläche mit 15 kg, so wird das Eigengewicht pro 1 qm Grundfläche = 25 + 15 = 40 kg. Demnach ist die Knotenpunktsbelastung durch das Eigengewicht = 8,6 · 40 = 344 kg, durch Schneedruck = 8,6 · 75 = 645 kg, die normale Knotenpunktsbelastung durch Winddruck = 9,61 · 43 = 413 kg, wofür abgerundet $N = 420$ kg gesetzt werden soll. Der Firtknotenpunkt und der Auflagerknotenpunkt erhalten nur je 210 kg normale Windbelastung.

α) Spannungen durch die Verticallasten. Für die obere Gurtung ergeben sich die Spannungen durch das Eigengewicht, bezw. totale Schneebelastung aus Gleichung 294. zu

$$X_m = - \frac{P \cdot 8,94}{2 \cdot 2,4} (8 - m) = - 1,8625 P (8 - m).$$

Wir erhalten: für Eigengewicht $P = 344$ kg, fonach $X_m^g = - 1,8625 \cdot 344 (8 - m) = - 640 (8 - m)$;

für Schneebelastung $P = 645$ kg, mithin $X_m^p = - 1,8625 \cdot 645 (8 - m) = - 1200 (8 - m)$.

Für $m =$	1	2	3	4
wird $X^g =$	- 4480	- 3840	- 3200	- 2560 kg.
$X^p =$	- 8400	- 7200	- 6000	- 4800 kg.

Für die untere Gurtung ist nach Gleichung 296. $Z_m = \frac{P \cdot 8,16}{2 \cdot 2,4} (9 - m) = 1,7 P (9 - m)$.

Für Eigengewicht ist $Z_m^g = 1,7 \cdot 344 (9 - m) = 585 (9 - m)$;

für Schneelast ist $Z_m^p = 1,7 \cdot 645 (9 - m) = 1096,5 (9 - m)$.

Sonach wird für $m =$	1	2	3	4
$Z^g =$	4095	3510	2925	kg;
$Z^p =$	7677	6579	5481	kg.

Z_1 ist nicht nach der Formel berechnet (vergl. darüber die Bemerkung in Art. 426, S. 392).

Für die Diagonalen ist nach Gleichung 299.

$$Y = - \frac{P}{9,6} \sqrt{16^2 + 4(m \cdot 2,4 - 4)^2} = - 0,104 P \sqrt{256 + 4(2,4m - 4)^2}.$$

Wir erhalten: für $m = 2$: $Y_2 = - 0,104 P \sqrt{256 + 4(0,8)^2} = - 1,672 P$;

Eigengewicht: $Y_2^g = - 575$ kg; Schneelast: $Y_2^p = - 1079$ kg;

für $m = 3$: $Y_3 = - 0,104 P \sqrt{256 + 4(7,2 - 4)^2} = - 1,79 P$;

Eigengewicht: $Y_3^g = - 616$ kg; Schneelast: $Y_3^p = - 1155$ kg;

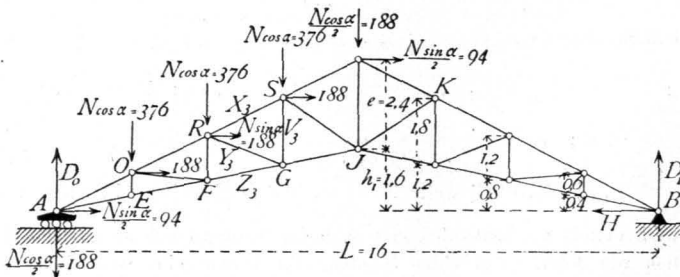
für $m = 4$: $Y_4 = - 0,104 P \sqrt{256 + 4(9,6 - 4)^2} = - 2,03 P$;

Eigengewicht: $Y_4^g = - 698$ kg; Schneelast: $Y_4^p = - 1310$ kg.

Die Spannungen in den Verticalen ergeben sich aus Gleichung 300.

	Eigengewicht:	Schneelast:
für $m = 2$:	$V_2^g = 172$ kg;	$V_2^p = 323$ kg;
» $m = 3$:	$V_3^g = 344$ kg;	$V_3^p = 645$ kg.

Fig. 277.



Die Spannungen in der Mittelverticalen (für $m = 4$) sind nach Gleichung 301. $V_4^g = 1950$ kg; $V_4^p = 3657$ kg.

β) Spannungen durch Windbelastung an der Seite des beweglichen Auflagers (Fig. 277). Die Verticalkomponente der Knotenpunktsbelastung ist bei den mittleren

Knotenpunkten gleich $420 \cos \alpha = 420 \cdot 0,895 = 376 \text{ kg}$, beim Firft- und Auflagerknotenpunkt je gleich 188 kg ; die Horizontalcomponenten sind bezw. $420 \sin \alpha = 420 \cdot 0,447 = 188 \text{ kg}$ und 94 kg . Die Verticalhöhen der oberen Gurtungsknotenpunkte über AB sind bezw. 1 m , 2 m , 3 m und 4 m ; die Knotenpunkte der unteren Gurtung liegen bezw. um $0,4 \text{ m}$, $0,8 \text{ m}$, $1,2 \text{ m}$ und $1,6 \text{ m}$ über der Horizontalen AB . Es ist

$$D_0 = \frac{(3 \cdot 376 + 2 \cdot 188) 12 - (3 \cdot 188 + 2 \cdot 94) 2}{16} = 1034 \text{ kg},$$

$$D_1 = \frac{(3 \cdot 376 + 2 \cdot 188) 4 + (3 \cdot 188 + 2 \cdot 94) 2}{16} = 470 \text{ kg},$$

$$H = 3 \cdot 188 + 2 \cdot 94 = 752 \text{ kg}.$$

Für die Stäbe der oberen Gurtung ergeben sich die Gleichungen der statischen Momente:

wenn E der conjugirte Punkt ist,

$$0 = X_1 \cdot 0,6 \cos \alpha + (D_0 - 188) 2 - 94 \cdot 0,4, \text{ woraus } X_1 = -3081 \text{ kg};$$

für den conjugirten Punkt F

$$0 = X_2 \cdot 1,2 \cos \alpha + (D_0 - 188) 4 - 94 \cdot 0,8 + 188 \cdot 0,2 - 376 \cdot 2, \text{ woraus } X_2 = -2415 \text{ kg};$$

weitere für die conjugirten Punkte G und \mathcal{Y}

$$0 = X_3 \cdot 1,8 \cos \alpha + (D_0 - 188) 6 + 2 \cdot 188 \cdot 0,3 - 2 \cdot 376 \cdot 3 - 94 \cdot 1,2, \text{ woraus } X_3 = -1751 \text{ kg};$$

$$0 = X_4 \cdot 2,4 \cos \alpha + (D_0 - 188) 8 - 3 \cdot 376 \cdot 4 + 3 \cdot 188 \cdot 0,4 - 94 \cdot 1,6, \text{ woraus } X_4 = -1085 \text{ kg}.$$

Die Momentengleichung für den Punkt \mathcal{Y} heißt, wenn das Fragment rechts von dem durch den Stab $\mathcal{Y}K$ gelegten Verticalschnitt betrachtet wird,

$$0 = H \cdot 1,6 - D_1 \cdot 8 - X_5 \cdot 2,4 \cos \alpha, \text{ woraus } X_5 = -\frac{8 \cdot 470 - 1,6 \cdot 752}{2,148} = -1190 \text{ kg}.$$

Dieselbe Spannung findet in sämmtlichen Stäben der oberen Gurtung rechts der Mitte statt (vergl. Art. 431, S. 397).

In ähnlicher Weise erhält man für die untere Gurtung:

$$0 = (D_0 - 188) 2 - 94 \cdot 1 - Z_1 \cdot 0,6 \cos \beta, \text{ woraus } Z_1 = 2718 \text{ kg} = Z_2;$$

$$0 = (D_0 - 188) 4 - 94 \cdot 2 - 376 \cdot 2 - 188 \cdot 1 - Z_3 \cdot 1,2 \cos \beta, \text{ woraus } Z_3 = 1919 \text{ kg};$$

$$0 = (D_0 - 188) 6 - 94 \cdot 3 - 2 \cdot 376 \cdot 3 - 2 \cdot 188 \cdot 1,5 - Z_4 \cdot 1,8 \cos \beta, \text{ woraus } Z_4 = 1119 \text{ kg}.$$

Wir betrachten endlich wieder das Fragment rechts von dem durch den Stab $\mathcal{Y}K$ gelegten Verticalschnitt; alsdann heißt für Punkt K die Momentengleichung

$$0 = H \cdot 3 - D_1 \cdot 6 + Z_5 \cdot 1,8 \cos \beta, \text{ woraus } Z_5 = 320 \text{ kg}.$$

Eben so groß ist die Spannung in sämmtlichen Stäben der unteren Gurtung rechts der Mitte (vergl. Art. 431, S. 397).

Um die Spannungen in den Diagonalen zu bestimmen, sind die Hebelsarme dieser Spannungen für den Punkt A , welcher für alle Diagonalen links der Mitte Momentenpunkt ist, construiert. Man erhält $y_2 = 1,17 \text{ m}$, $y_3 = 3,3 \text{ m}$ und $y_4 = 5,8 \text{ m}$.

Die Spannungen ergeben sich aus den Momentengleichungen, wie folgt:

$$0 = Y_2 \cdot 1,17 + 376 \cdot 2 + 188 \cdot 1, \text{ woraus } Y_2 = -803 \text{ kg};$$

$$0 = Y_3 \cdot 3,3 + 2 \cdot 376 \cdot 3 + 2 \cdot 188 \cdot 1,5, \text{ woraus } Y_3 = -854 \text{ kg};$$

$$0 = Y_4 \cdot 5,8 + 376 \cdot 3 \cdot 4 + 3 \cdot 188 \cdot 2, \text{ woraus } Y_4 = -973 \text{ kg}.$$

Die Spannungen in den Diagonalen rechts der Mitte sind gleich Null (vergl. Art. 431, S. 397).

Für die Spannungen aller Verticalen links der Mitte ist A der conjugirte Punkt; man erhält:

$$0 = 376 \cdot 2 + 188 \cdot 1 - V_2 \cdot 4, \text{ woraus } V_2 = +235 \text{ kg};$$

$$0 = 2 \cdot 376 \cdot 3 + 2 \cdot 188 \cdot 1,5 - V_3 \cdot 6, \text{ woraus } V_3 = +470 \text{ kg}.$$

Für die Ermittlung der Spannung in der Mittelverticalen ist die Summe der Verticalkräfte im Firftknotenpunkt gleich Null zu setzen (Fig. 278); ferner

$$0 = V_4 + 188 + (X_4 + X_5) \sin \alpha = V_4 + 188 - (1085 + 1190) 0,447, \text{ woraus } V_4 = 829 \text{ kg}.$$

Die Spannungen in den Verticalen rechts der Mitte sind gleich Null (vergl. Art. 431, S. 397).

γ) Spannungen durch Windbelastung von der Seite des festen Auflagers (Fig. 279).

Die Belastungen der einzelnen Knotenpunkte der rechten Hälfte sind eben so groß, wie diejenigen der linken Knotenpunkte sub β waren. Wir erhalten:

$$D_0 = \frac{(3 \cdot 376 + 2 \cdot 188) 4 + (3 \cdot 188 + 2 \cdot 94) 2}{16} = 470 \text{ kg},$$

$$D_1 = \frac{(3 \cdot 376 + 2 \cdot 188) 12 - (3 \cdot 188 + 2 \cdot 94) 2}{16} = 1034 \text{ kg},$$

Fig. 278.

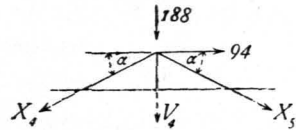
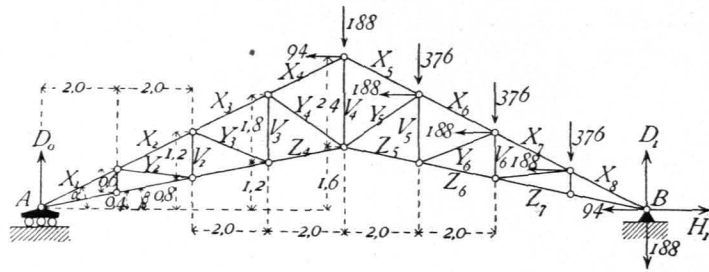


Fig. 279.



$$H_1 = 3 \cdot 188 + 2 \cdot 94 = 752 \text{ kg.}$$

In der oberen Gurtung findet man:

$$0 = X_1 \cdot 0,6 \cos \alpha + D_0 \cdot 2, \text{ woraus } X_1 = - \frac{470 \cdot 2}{0,537} = - 1750 \text{ kg.}$$

Dasselbe Resultat ergibt sich nach Art. 431, S. 397 für X_2, X_3 und X_4 . Weiters ist:

$$0 = X_5 \cdot 2,4 \cos \alpha + D_0 \cdot 8 - 94 \cdot 2,4, \text{ woraus } X_5 = - 1645 \text{ kg;}$$

$$0 = X_6 \cdot 1,8 \cos \alpha + (D_1 - 188) \cdot 6 + (H_1 - 94) \cdot 1,2 + 2 \cdot 188 \cdot 0,3 - 2 \cdot 376 \cdot 3, \text{ woraus } X_6 = - 2310 \text{ kg;}$$

Bezeichnung des Stabes	Spannung durch				P_0	P_1
	Eigen-gewicht	Schneelast (total)	Wind links	Wind rechts		
Obere Gurtung:						
Stab Nr. 1	- 4480	- 8400	- 3081	- 1750	- 4480	- 11481
» » 2	- 3840	- 7200	- 2415	- 1750	- 3840	- 9615
» » 3	- 3200	- 6000	- 1751	- 1750	- 3200	- 7751
» » 4	- 2560	- 4800	- 1085	- 1750	- 2560	- 6550
» » 5	- 2560	- 4800	- 1190	- 1645	- 2560	- 6445
» » 6	- 3200	- 6000	- 1190	- 2310	- 3200	- 8310
» » 7	- 3840	- 7200	- 1190	- 2976	- 3840	- 10176
» » 8	- 4480	- 8400	- 1190	- 3638	- 4480	- 12038
Untere Gurtung:						
Stab Nr. 1 u. 2	+ 4095	+ 7677	+ 2718	+ 1600	+ 4095	+ 10395
» » 3	+ 3510	+ 6579	+ 1919	+ 1600	+ 3510	+ 8498
» » 4	+ 2925	+ 5481	+ 1119	+ 1600	+ 2925	+ 7081
» » 5	+ 2925	+ 5481	+ 320	+ 2455	+ 2925	+ 7936
» » 6	+ 3510	+ 6579	+ 320	+ 3186	+ 3510	+ 9765
» » 7 u. 8	+ 4095	+ 7677	+ 320	+ 3996	+ 4095	+ 11673
Diagonalen:						
im Felde 2	- 575	- 1079	- 803	0	- 575	- 1882
» » 3	- 616	- 1155	- 854	0	- 616	- 2009
» » 4	- 698	- 1310	- 973	0	- 698	- 2283
» » 5	- 698	- 1310	0	- 973	- 698	- 2283
» » 6	- 616	- 1155	0	- 854	- 616	- 2009
» » 7	- 575	- 1079	0	- 803	- 575	- 1882
Verticalen:						
zwischen Feld 2 u. 3	+ 172	+ 323	+ 235	0	+ 172	+ 558
» » 3 u. 4	+ 344	+ 645	+ 470	0	+ 344	+ 1115
Mittelverticale	+ 1950	+ 3657	+ 829	+ 1330	+ 1950	+ 4987
zwischen Feld 5 u. 6	+ 344	+ 645	0	+ 470	+ 344	+ 1115
» » 6 u. 7	+ 172	+ 323	0	+ 235	+ 172	+ 558

Kilogramm

$$0 = X_7 \cdot 1,2 \cos \alpha + (D_1 - 188) 4 + (H_1 - 94) 0,8 + 188 \cdot 0,2 - 376 \cdot 2, \text{ woraus } X_7 = -2976 \text{ kg};$$

$$0 = X_8 \cdot 0,6 \cos \alpha + (D_1 - 188) 2 + (H_1 - 94) 0,4, \text{ woraus } X_8 = -3638 \text{ kg}.$$

In der unteren Gurtung ergibt sich

$$0 = Z_1 \cdot 0,6 \cos \beta - D_0 \cdot 2, \text{ woraus } Z_1 = +1600 \text{ kg}.$$

Dieselbe Größe haben Z_2, Z_3 und Z_4 . Weiters findet man:

$$0 = (D_1 - 188) 6 + (H_1 - 94) 3 - 2 \cdot 376 \cdot 3 - 2 \cdot 188 \cdot 1,5 - Z_5 \cdot 1,8 \cos \beta, \text{ woraus } Z_5 = +2455 \text{ kg};$$

$$0 = (D_1 - 188) 4 + (H_1 - 94) 2 - 376 \cdot 2 - 188 \cdot 1 - Z_6 \cdot 1,2 \cos \beta, \text{ woraus } Z_6 = +3186 \text{ kg};$$

$$0 = (D_1 - 188) 2 + (H_1 - 94) 1 - Z_7 \cdot 0,6 \cos \beta, \text{ woraus } Z_7 = +3996 \text{ kg} = Z_8.$$

Für die Ermittlung der Spannungen in den Diagonalen sind die Hebelsarme oben angegeben.

Hiernach findet man:

$$0 = Y_7 y_2 + 188 \cdot 1 + 376 \cdot 2, \text{ woraus } Y_7 = -803 \text{ kg};$$

$$0 = Y_6 y_3 + 2 \cdot 188 \cdot 1,5 + 2 \cdot 376 \cdot 3, \text{ woraus } Y_6 = -854 \text{ kg};$$

$$0 = Y_5 y_4 + 3 \cdot 188 \cdot 2 + 3 \cdot 376 \cdot 4, \text{ woraus } Y_5 = -973 \text{ kg};$$

die Spannungen in den übrigen Diagonalen sind gleich Null.

In den Verticalen sind die Spannungen V_1, V_2 und V_3 gleich Null; V_4 wird durch die Aufstellung der Gleichgewichtsbedingung für den Firftknotenpunkt, wie folgt, erhalten:

$$0 = V_4 + 188 + X_5 \sin \alpha + X_4 \sin \alpha = V_4 + 188 - (1750 + 1645) 0,447, \text{ woraus } V_4 = 1330 \text{ kg}.$$

Ferner ergibt sich:

$$0 = V_5 \cdot 6 - 2 \cdot 376 \cdot 3 - 2 \cdot 188 \cdot 1,5, \text{ woraus } V_5 = 470 \text{ kg};$$

$$0 = V_6 \cdot 4 - 376 \cdot 2 - 188 \cdot 1, \text{ woraus } V_6 = 235 \text{ kg}.$$

δ) Zusammenstellung der Stabspannungen. Für die Querschnittsbestimmungen sind die gefundenen Spannungen in neben stehender Tabelle zusammengestellt.

b) Deutsche Dachstühle.

Der deutsche Dachstuhl ist ein englischer Dachstuhl mit nur einem Knotenpunkt in jeder Dachhälfte; wir werden demnach die in demselben durch Eigenlast und totale Schneelast entstehenden Spannungen aus den Formeln für den englischen Dachstuhl ableiten können (Fig. 280).

Für die obere Gurtung ist in die Gleichungen 293. und 294. statt $2n$ die Zahl 4 einzusetzen und für m der Reihe nach 1 und 2; alsdann erhält man

$$\left. \begin{aligned} X_1 &= -\frac{3P}{2 \cos \alpha (\operatorname{tg} \alpha - \operatorname{tg} \beta)} = -\frac{3P\lambda}{2e} \\ X_2 &= -\frac{P}{\cos \alpha (\operatorname{tg} \alpha - \operatorname{tg} \beta)} = -\frac{P\lambda}{e} \end{aligned} \right\} \dots \dots \dots 305.$$

Die allgemeine Gleichung 295., bzw. 296. für die untere Gurtung gilt nicht für $m = 1$ (siehe Art. 426, S. 392). Für $m = 2, 2n = 4$ übergeht Gleichung 295., bzw. 296. in

$$Z = \frac{3P}{2 \cos \beta (\operatorname{tg} \alpha - \operatorname{tg} \beta)},$$

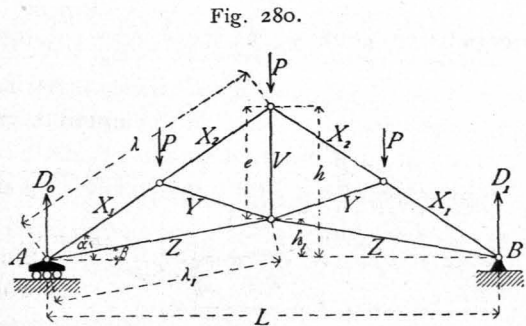
$$Z = \frac{3P\lambda_1}{2e} \dots \dots 306.$$

Für die Diagonalen giebt die Gleichung 299. für $m = 2$

$$Y = -\frac{P}{4e} \sqrt{L^2 + 4(2e - h)^2} \dots \dots \dots 307.$$

Für die Verticale ist Gleichung 301. anzuwenden, und es ergibt sich für $n = 2$

$$V = P \left(\frac{2 \operatorname{tg} \alpha}{\operatorname{tg} \alpha - \operatorname{tg} \beta} - 1 \right) = P \left(2 \frac{2h}{2h - 2h_1} - 1 \right) = P \frac{h + h_1}{e} \dots \dots 308.$$



433-
Ermittlung
der
Spannungen.

Fig. 281.

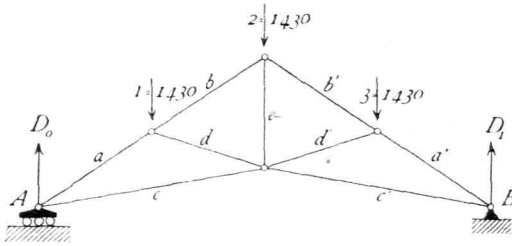


Fig. 282.

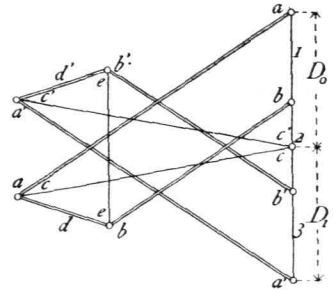


Fig. 283.

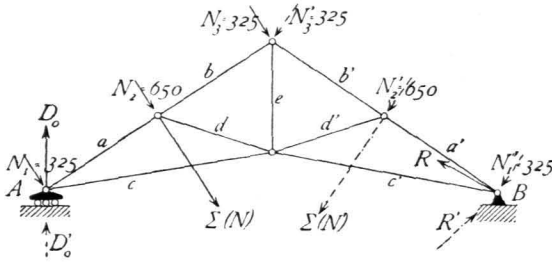


Fig. 284.

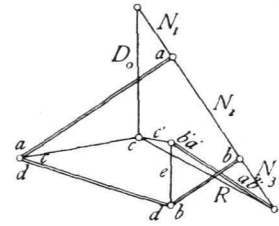
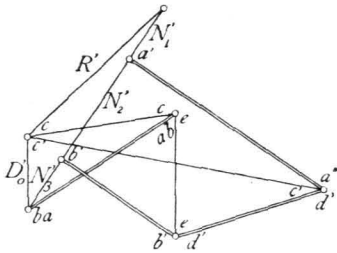


Fig. 285.



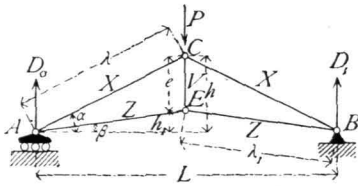
Für schiefe Belastungen durch Winddruck sind die Spannungen, wie beim englischen Dachstuhl gezeigt, zu ermitteln.

Die graphische Ermittlung der Spannungen im deutschen Dachstuhl für die Belastungen durch Eigengewicht und Winddruck von der einen, bezw. der anderen Seite zeigen die Fig. 281 bis 285.

c) Dreiecksdächer.

Die Aufstellung der Gleichgewichtsbedingungen für die einzelnen Knotenpunkte ergibt (Fig. 286), da $D_0 = D_1 = \frac{P}{2}$ ist, die Werthe der Stabspannungen.

Fig. 286.



$$\left. \begin{aligned} \text{Es ist } 0 &= X \cos \alpha + Z \cos \beta \\ \text{und } 0 &= D_0 + X \sin \alpha + Z \sin \beta, \text{ woraus} \\ X &= -\frac{P}{2 \cos \alpha (\operatorname{tg} \alpha - \operatorname{tg} \beta)} = -\frac{P \lambda}{2 e} \\ Z &= +\frac{P}{2 \cos \beta (\operatorname{tg} \alpha - \operatorname{tg} \beta)} = \frac{P \lambda_1}{2 e} \end{aligned} \right\} \quad 309.$$

Sowohl X wie Z nehmen mit wachsendem e ab; für den Materialverbrauch ist also ein mög-

lichst großes e günstig.

Ferner ist $P + V + 2 X \sin \alpha = 0$, woraus

$$V = P \frac{\operatorname{tg} \beta}{\operatorname{tg} \alpha - \operatorname{tg} \beta} = \frac{P h_1}{h - h_1} = \frac{P h_1}{e} \dots \dots \dots 309a.$$

So lange h_1 positiv ist, d. h. E über der Horizontalen AB liegt, ist V positiv,

434.
Ermittlung
der
Spannungen.

d. h. Zug; für $h_1 = 0$ ist auch $V = 0$, d. h. wenn AEB eine gerade Linie ist, hat die Stange CE keine Spannung; wird h_1 negativ, d. h. liegt E unter der Linie AB , so ist V negativ, d. h. Druck.

Die Spannungen durch Windbelastung sind, wie beim englischen Dachstuhl gezeigt, vermittels der Ritter'schen Methode oder durch Aufstellung der Gleichgewichtsbedingungen zu ermitteln. Bequemer ist, besonders für diese Belastungsart, die graphische Ermittlung.

d) Französische oder Polonceau-Dachstühle.

Die Berechnung und die Construction der Stabspannungen ist hier nach Ermittlung sämtlicher äußerer Kräfte für die verschiedenen Belastungsarten in der allgemein gezeigten Weise (siehe Art. 376, S. 339) vorzunehmen; die Berechnung geschieht meistens bequem vermittels der Momentenmethode, die graphische Ermittlung nach Cremona. Die Formeln für die einzelnen Stabspannungen werden nicht sehr einfach, so daß wir von der Aufstellung von Formeln hier absehen wollen.

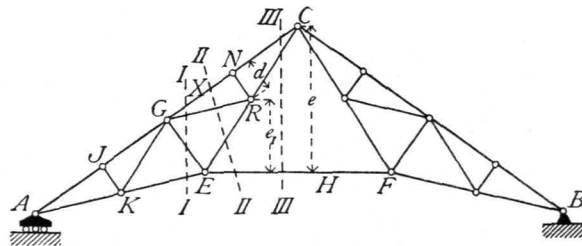
Ueber den einfachen Polonceau-Dachstuhl braucht demnach hier nichts weiter gesagt zu werden. Besondere Aufmerksamkeit dagegen erfordert der zusammengesetzte Polonceau-Dachstuhl (siehe Art. 424, S. 390). Bei demselben ist es nämlich für eine Anzahl von Stäben nicht möglich, die Schnitte so zu legen, daß nur drei Stäbe vom Schnitte getroffen werden; beim graphischen Verfahren stellt sich eine analoge Schwierigkeit heraus. Wir werden uns deshalb hier nur mit dem zusammengesetzten Polonceau-Dachstuhl beschäftigen.

1) Berechnung der Spannungen. Bei der Momentenmethode ist der Momentenpunkt so zu wählen, daß für denselben alle Unbekannten mit Ausnahme einer einzigen das Moment Null haben, mithin nur eine Unbekannte in der Gleichung verbleibt. Bei einigen Stäben ist es nun möglich, den Schnitt so zu legen, daß mit Ausnahme einer einzigen sämtliche Stabrichtungen sich in einem Punkte schneiden; in diesem Falle ist dieser Punkt als Momentenpunkt für die Ermittlung der Spannungen in demjenigen Stabe zu wählen, welcher nicht durch diesen Punkt geht. So werden durch den Schnitt II (Fig. 287) vier Stäbe geschnitten, deren drei sich in G treffen; die Spannung in KE kann demnach durch Aufstellung der Momentengleichung für G als Drehpunkt aufgesucht werden. Trifft aber der Schnitt vier oder mehr Stäbe, von welchen sich nicht alle mit Ausnahme eines einzigen in einem Punkte schneiden, so bleibt nichts übrig, als eine Reihe von Stabspannungen vorher zu bestimmen, um diese nicht mehr als Unbekannte in der Momentengleichung zu haben. Man bestimme also zunächst die Spannungen jener Stäbe, bei denen Schnitte möglich sind, die nur drei Stäbe treffen; indem alsdann diese Spannungen als Bekannte eingeführt werden, bleiben in den Momentengleichungen nur noch die gesuchten Unbekannten. Um

435-
Einfacher
Polonceau-
Dachstuhl.

436.
Zusammen-
gesetzter
Polonceau-
Dachstuhl.

Fig. 287.



z. B. die Spannungen in GN , GR , RE und EF , welche Stäbe durch den Schnitt III getroffen werden, zu finden, ermittle man zunächst diejenige in EF . Man schneide nach III ; alsdann ist für EF der Firstpunkt C der conjugirte Punkt und demnach die Spannung H in EF leicht zu finden. Es ist $H = \frac{M}{e}$, wenn M das Biegemoment der äußeren Kräfte für C ist. Nun sind für den Schnitt III nur noch drei Unbekannte vorhanden. Um die Spannung X in GN zu bestimmen, dient die Momentengleichung für Punkt R , in welcher nur X als Unbekannte verbleibt; für die Spannung in GR ist C , für diejenige in RE ist G der conjugirte Punkt. Nachdem diese Spannungen ermittelt sind, ist für Schnitt II nur noch die Spannung in GE unbekannt; man kann demnach einen beliebigen, nicht auf der Richtungslinie von GE liegenden Punkt als Momentenpunkt annehmen.

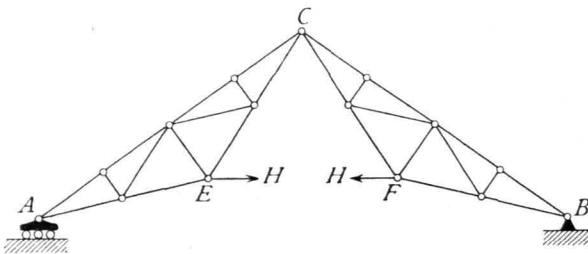
Es empfiehlt sich, stets zuerst die Spannung H im Stabe EF zu ermitteln und dann diesen Stab durch die beiden äußeren Kräfte H in E und F (nach Fig. 288) zu ersetzen. Natürlich sind für jede geänderte Belastung andere Werthe für H auszurechnen und einzuführen; alsdann werden, da ja EF nicht mehr als Stab vorhanden ist, meistens nur drei Stäbe getroffen, so daß die conjugirten Punkte sich leicht markiren. Bemerkt werden möge noch, daß die Schnitte beliebig krumm sein können, das allgemeine Gesetz (vergl. Art. 254, S. 232) bleibt dabei gültig und damit auch unser Verfahren.

Die vorstehenden Entwicklungen gelten sowohl für verticale, wie für schiefe Belastungen.

Bei verticalen Belastungen ergeben sich ferner die totalen Belastungen des ganzen Binders wiederum als die ungünstigsten; für die Diagonalen allerdings in demselben Sinne, wie oben beim englischen Dache nachgewiesen, nämlich daß bei totaler Belastung auch diejenigen Punkte belastet sind, welche in den Diagonalen die Spannung Null erzeugen. Der Nachweis ist unschwer zu führen, soll aber hier, um den verfügbaren Raum nicht zu überschreiten, fortbleiben.

2) Graphische Ermittlung der Spannungen. Bei der Construction des *Cremona'schen* Kräfteplanes ergeben sich analoge Schwierigkeiten, wie bei der Berechnung. Wenn man nämlich beim Aneinanderreihen der kleinen Kraftpolygone bis zum Knotenpunkt E (Fig. 287) gekommen ist, so sind an diesem drei Stäbe mit nicht bekannten Spannungen; das Verfahren ist also nicht ohne Weiteres anwendbar. Die Schwierigkeit wird analog, wie oben, dadurch beseitigt, daß man zuerst die Spannung H des Stabes EF bestimmt und dieselbe als in E , bezw. F wirkende äußere Kraft einführt. Dadurch erreicht man auch, daß die Stäbe

Fig. 288.



zwischen E und C , so wie zwischen C und F zu Randstäben werden. Bevor demnach für den zusammengesetzten *Polonceau-Dachstuhl* der Kräfteplan gezeichnet werden kann, ist H zu ermitteln. Diese Ermittlung erfolgt entweder auf dem Wege der Rechnung, wie oben gezeigt, oder besser,

wenn doch alles Uebrige conſtruirt wird, auf geometriſchem Wege. Wir werden das einzufchlagende Verfahren für die verſchiedenen Belaſtungsarten zeigen.

a) Belaſtung durch das Eigengewicht, bezw. totale Schneelaſt. Man kann H vermittels der Schnittmethode beſtimmen, indem man

das Seilpolygon der äußeren Kräfte für einen beliebigen Pol conſtruirt, einen Schnitt fo durch den Träger legt, daſs außer EF nur noch zwei Stäbe getroffen werden, den Angriffspunkt der Transverſalkraft für dieſen Schnitt ſucht und nun, wie oben in Art. 381, S. 341 gezeigt, zerlegt. Die Kraft Q wird dann ſehr weit feitwärts fallen, weil der Schnitt nahe der Mitte liegt, und wenn man ſich auch durch Hilfsconſtructionen helfen kann, ſo dürfte doch die folgende Conſtruction empfehlenswerther fein.

Fig. 289.

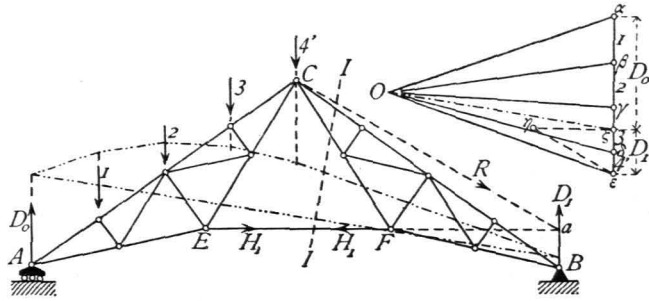


Fig. 290.

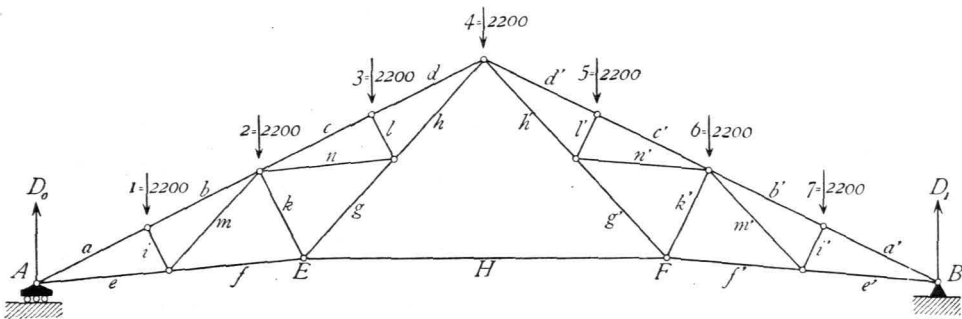


Fig. 291.

Die Spannung H im Stabe EF (Fig. 289) iſt bei totaler Belaſtung (und der hier vorausgeſetzten zur Firſtverticalen ſymmetriſchen Dachform) offenbar genau doppelt ſo groß, als die Spannung H_1 , welche in EF bei Belaſtung nur der einen Dachhälfte ſtattfindet. Die Größe dieſer Spannung H_1 wird nun folgender Maſſen ermittelt. Man legt einen Schnitt II durch das Dach derart, daſs an der einen (hier der rechten) Seite deſelben gar keine Laſten liegen; alſdann wirken auf den Theil

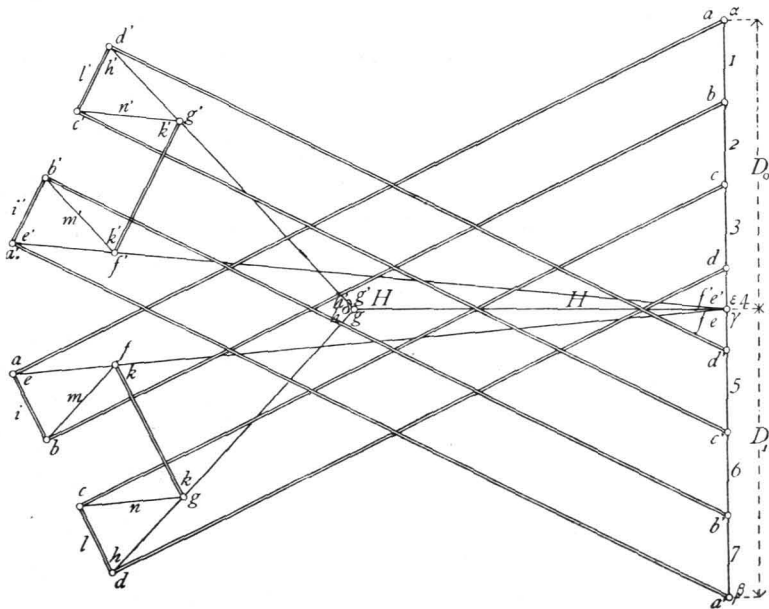


Fig. 292.

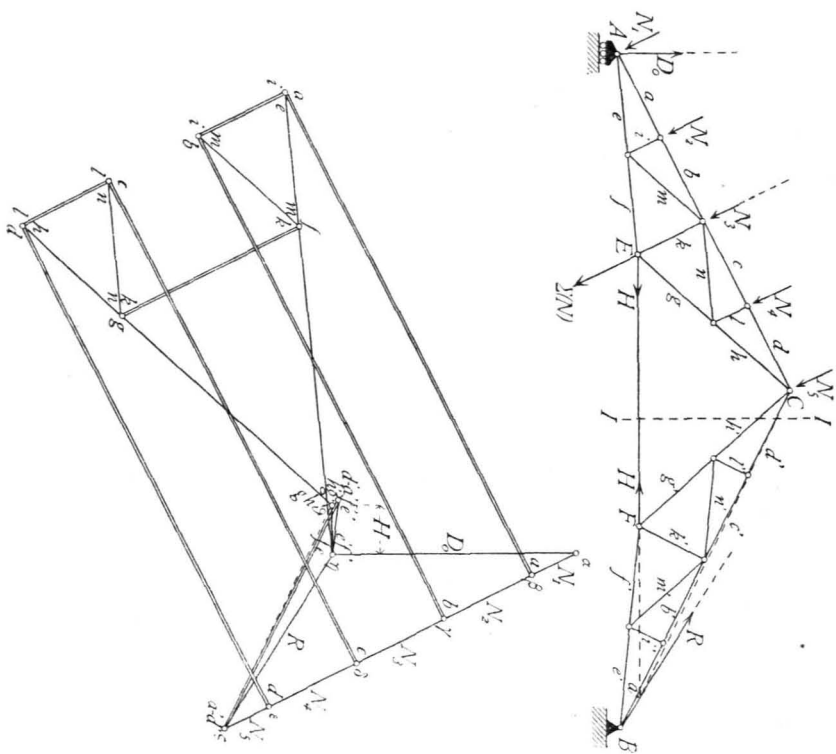
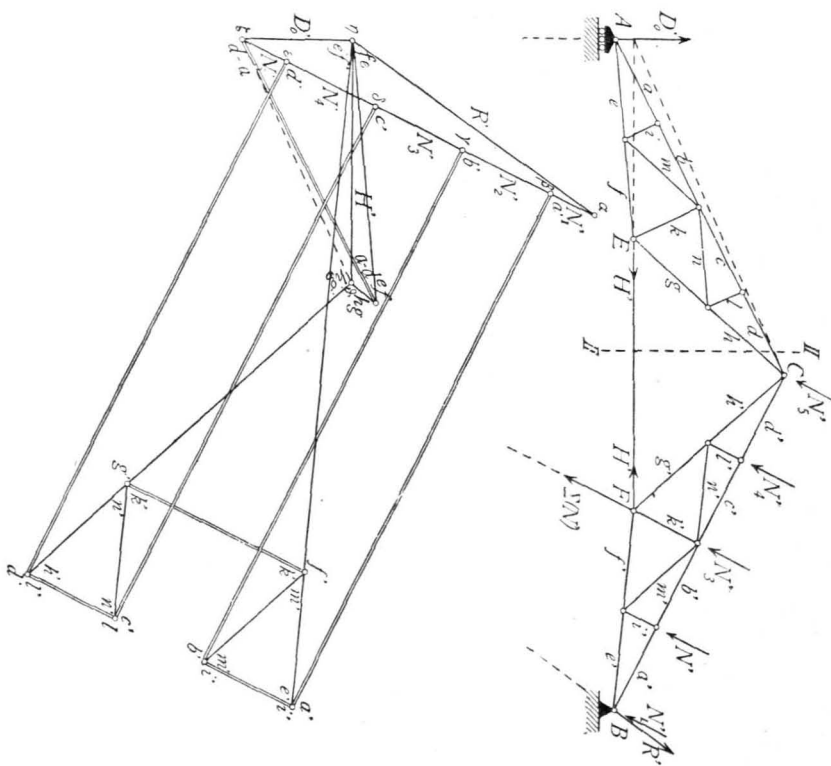


Fig. 293.



rechts vom Schnitte nur die Spannungen der drei durchschnittenen Stäbe und die Auflager-Reaction D_1 . Zwei von diesen Stäben schneiden sich im Firfipunkte; die in ihnen wirkenden Spannungen können also durch eine Mittelkraft ersetzt werden, welche durch den Firfipunkt C geht; demnach halten die drei auf das Fragment wirkenden Kräfte D_1, H_1 und die Mittelkraft R der beiden Stabspannungen das Fragment im Gleichgewicht, schneiden sich also in einem Punkte. Durch den Schnittpunkt a von H_1 und D_1 geht also auch R ; R geht aber auch durch C ; die Kraft R hat demnach die Richtung Ca . Nun können wir D_1 nach den beiden bekannten Richtungen von H_1 und R zerlegen; D_1 wird mit Hilfe des Seilpolygons construirt und ist (Fig. 289) gleich $\varepsilon\zeta$. Man erhält $H_1 = \zeta\eta$ und $R = \eta\varepsilon$.

Die Kraft H , welche der Belaftung des ganzen Daches entspricht, ist dann gleich $2 \times \zeta\eta$. Es bedarf wohl kaum der Erwähnung, daß in obiger Construction als Belaftung des Firfipunktes nur die Hälfte der anderen Knotenpunktsbelaftungen einzuführen ist. Es ist deshalb hier die Last im Firfipunkt mit δ' bezeichnet.

Der Kräfteplan ist nun zu construiren, indem statt der Stange EF die äußeren Kräfte H in den Punkten E und F eingeführt werden. Man trage die Lasten $1, 2 \dots 6, 7$ an einander (Fig. 291); auf 7 folgt $D_1 = \beta\gamma$, dann die Kraft H im Punkte F gleich $\gamma\delta$ und H im Punkte E gleich $\delta\varepsilon$; ε fällt mit γ zusammen. Endlich ist an ε die Auflager-Reaction $D_0 = \gamma\alpha$ anzutragen, womit sich das Kraftpolygon schließt. Nun ist der Kräfteplan nach den in Art. 382, S. 342 angegebenen Principien in Fig. 291 construirt, wobei vom Knotenpunkt A ausgegangen ist.

Für die Belaftung nur der einen Dachhälfte mit Schnee ist H_1 , wie oben gezeigt, zu ermitteln und alsdann der Kräfteplan ohne Schwierigkeit zu verzeichnen.

β) Windbelaftung von der Seite des beweglichen Auflagers. Die Ermittlung der Auflager-Reactionen wird, wie in Art. 417, S. 381 gezeigt, vorgenommen; die Größe der Kraft H (im Stabe EF , Fig. 292) ergibt sich wieder durch Betrachtung des Fragmentes an derjenigen Seite des Schnittes II , an welcher die Winddrücke nicht wirken. Nachdem sodann die H als äußere Kräfte eingeführt sind, ist der Kräfteplan in gewöhnlicher Weise zu zeichnen. Die Construction ist in Fig. 292 vorgenommen.

γ) Winddruck von der Seite des festen Auflagers. Fig. 293 zeigt die Construction des Kräfteplanes für diesen Fall; nach dem Vorstehenden ist er ohne besondere Erklärung verständlich.

e) Sicheldächer.

Die Gurtungen können bei den Sicheldächern nach beliebigen Curven gekrümmt sein; gewöhnlich sind beide Gurtungen Polygone, welche Parabeln oder Kreisen eingeschrieben sind. Die Bestimmung der Auflager-Reactionen ist in Art. 416 ff. S. 380 ff. gezeigt worden; die Stabspannungen ergeben sich durch Rechnung oder Construction ohne Schwierigkeit. Es soll hier nur die Gesetzmäßigkeit der Spannungsänderungen für das parabolische Sicheldach und für verticale Belastungen gezeigt werden.

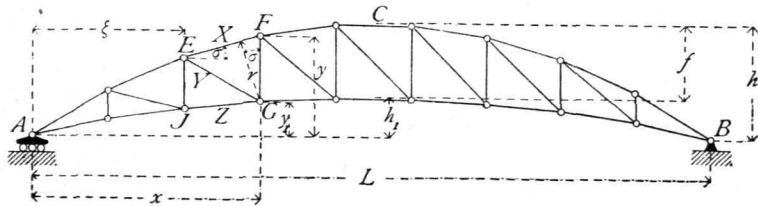
Die Gleichungen der beiden Curven sind, wenn die Pfeilhöhen h und h_1 sind, nach Art. 393, S. 360 für A als Anfangspunkt der Coordinaten (Fig. 294)

$$y = \frac{4h}{L^2} (Lx - x^2) \quad \text{und} \quad y_1 = \frac{4h_1}{L^2} (Lx - x^2) \dots 310.$$

α) Stabspannung bei verticaler Belaftung. Für den Stab EF (Fig. 294) der oberen Gurtung ist G der conjugirte Punkt, und wenn das Biegemoment für diesen Punkt mit M_x bezeichnet wird, ist $Xr + M_x = 0$, woraus $X = -\frac{M_x}{r}$.

437-
Form
der
Dachbinder.

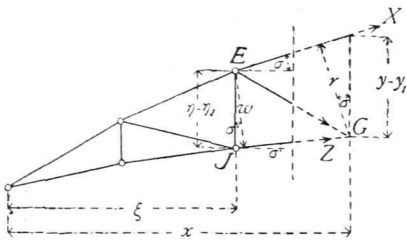
Fig. 294.



438.
Ermittlung
d. Spannungen
durch verticale
Belastung.

Nun ist $r = (y - y_1) \cos \sigma = \frac{4}{L^2} (h - h_1) (Lx - x^2) \cos \sigma = \frac{4}{L^2} f(Lx - x^2) \cos \sigma$;

Fig. 295.



also

$$X \cos \sigma = - \frac{M_x L^2}{4f(Lx - x^2)} \quad 311.$$

Für den Stab $\mathcal{F}G$ der unteren Gurtung ist E der conjugirte Punkt, und wenn das Biegemoment für diesen Punkt mit M_ξ bezeichnet wird, so ist (Fig. 295) $Z = \frac{M_\xi}{w}$.

Nun ist

$$w = (\eta - \eta_1) \cos \sigma' = \frac{4}{L^2} f(L\xi - \xi^2) \cos \sigma',$$

d. h.

$$Z \cos \sigma' = \frac{M_\xi L^2}{4f(L\xi - \xi^2)} \quad 312.$$

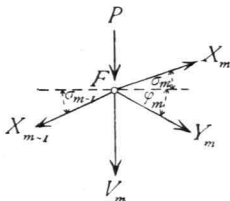
Aus den Gleichungen 311. und 312. folgt:

a) Für totale gleichmäÙig über die Horizontalprojection vertheilte Belastung p pro Längeneinheit ist $M_x = \frac{p}{2} (Lx - x^2)$ und $M_\xi = \frac{p}{2} (L\xi - \xi^2)$, also

$$X \cos \sigma = - \frac{p L^2}{8f} \quad \text{und} \quad Z \cos \sigma' = \frac{p L^2}{8f}, \quad 313.$$

d. h. die Horizontalcomponenten der Gurtungsspannungen sind bei der angegebenen Belastungsart in beiden Gurtungen constant, und zwar gleich dem Maximalmomente, dividirt durch die Mittenhöhe der Sichel. Bei der Parabel ist innerhalb der Grenzen, welche bei den Dächern vorkommen, $\cos \sigma$ und $\cos \sigma'$ nahezu constant. Das soeben gefundene Resultat stimmt mit dem in Art. 396, S. 362 für die Parabelträger Ermittelten überein. Durch Aufstellung der Gleichgewichtsbedingung für einen Knotenpunkt der oberen Gurtung, etwa F , ergibt sich ferner (Fig. 296)

Fig. 296.



$$0 = X_m \cos \sigma_m - X_{m-1} \cos \sigma_{m-1} + Y_m \cos \varphi_m, \quad \text{d. h.}$$

$$0 = - \frac{p L^2}{8f} + \frac{p L^2}{8f} + Y_m \cos \varphi_m \quad \text{oder} \quad Y_m = 0. \quad 314.$$

Für die angegebene Belastung sind die Spannungen sämmtlicher Diagonalen bei den parabolischen Sieldächern gleich Null.

b) Alle zu den Gurtungsstäben gehörigen conjugirten Punkte liegen zwischen den Verticalen der Auflager A und B (Fig. 294); für alle diese Punkte sind die Biegemomente bei verticaler Belastung positiv (siehe Art. 362, S. 325); mithin erzeugt jede verticale Belastung in den Stäben der oberen Gurtung Druck, in denjenigen der unteren Gurtung Zug. Maximaldruck, bzw. -Zug für verticale Belastung wird demnach in allen Stäben bei voller Belastung des ganzen Dachbinders stattfinden.

Für die Spannungen in den Diagonalen ergibt sich in derselben Weise, welche in Art. 397, S. 363 angewendet ist, um die Beanspruchungsart der Diagonalen des Parabelträgers zu ermitteln: Jede Belastung zwischen dem durch eine Diagonale gelegten Verticalschnitt und demjenigen Auflager, nach welchem die Diagonale zu fällt, erzeugt Zug in derselben; jede Belastung zwischen

dem Schnitte und demjenigen Auflager, nach welchem die Diagonale steigt, erzeugt in derselben Druck. Maximaldruck, bzw. -Zug finden demnach statt, wenn nur die Druck-, bzw. Zugabtheilung der betreffenden Diagonalen belastet ist. Ob bei einem Dache diese verschiedenen, jedenfalls für die meisten Diagonalen überhaupt wohl nicht vorkommenden Belastungsarten der Berechnung zu Grunde gelegt werden sollen, ist fraglich; meistens dürfte es genügen, eine Belastung nur der einen Dachhälfte durch Schnee als ungünstigste verticale Belastung einzuführen. Die hierbei sich ergebenden Spannungen sind mittels der Ritter'schen Methode leicht zu finden.

Betreff der Spannungen in den Verticalen ergibt sich wie oben folgendes Gesetz: Maximaldruck, bzw. -Zug findet in einer Verticalen bei der Belastung statt, welche in derjenigen Diagonalen den größten Zug, bzw. Druck erzeugt, die mit der Verticalen in einem Knotenpunkt der nicht belasteten Gurtung zusammentrifft. Auch hier dürfte es genügen, als mobile Verticalbelastungen nur die Belastung des ganzen Daches und diejenige der einen Dachhälfte anzunehmen.

Bei Belastung des ganzen Dachbinders mit der gleichmäßig über die Horizontalprojection vertheilten Belastung p ergibt sich die Spannung aller Verticalen durch Aufstellung der Gleichgewichtsbedingung für einen Knotenpunkt der unteren Gurtung. Es ist (Fig. 297), da die Spannung in der Diagonalen gleich Null ist,

$$0 = V_m + Z_m \sin \sigma'_m - Z_{m-1} \sin \sigma'_{m-1} \quad \text{und} \quad 0 = V + \frac{p L^2}{8 f} (\operatorname{tg} \sigma'_m - \operatorname{tg} \sigma'_{m-1}).$$

Wird (mit geringem Fehler) die Curve als stetig gekrümmt angesehen und werden die Richtungen der Stäbe als parallel zu den in den Mitten der unteren Gurtungsstäbe an die Parabel gelegten Tangenten eingeführt, so ist

$$\operatorname{tg} \sigma'_m = \frac{4 h_1}{L^2} (L - 2 x_m) \quad \text{und} \quad \operatorname{tg} \sigma'_{(m-1)} = \frac{4 h_1}{L^2} (L - 2 x_{m-1}),$$

folglich

$$0 = V + \frac{p L^2}{8 f} \frac{4 h_1}{L^2} 2 (x_{m-1} - x_m) = V - \frac{p h_1}{f} a, \quad \text{woraus} \quad V = \frac{p h_1 a}{f} \quad 315.$$

V nimmt ab, wenn h_1 abnimmt; für $h_1 = 0$ ist $V = 0$.

β) Stabspannungen bei einseitiger Schneebelastung. In Betreff der Belastung durch einseitige Schneelast ist Folgendes zu beachten. Man braucht nicht für beide Belastungsarten, diejenige des ganzen Daches und diejenige der einen Dachhälfte, die Spannungen zu berechnen; vielmehr genügt für symmetrisch zur Mittelverticalen angeordnete Construction die Kenntniß der Spannungen bei einseitiger Belastung, um diejenigen zu erhalten, welche bei totaler Belastung stattfinden, und gleichzeitig zu ermitteln, welche Belastungsart die gefährlichere ist. Die Belastung der linken Dachhälfte erzeugt etwa (Fig. 299) im Stabe EF die Spannung g' ; die Belastung der rechten Dachhälfte erzeugt in demselben Stabe die Spannung g'' . Die Totalbelastung hat offenbar im Stabe EF die Spannung $g' + g''$ zur Folge. Liegt nun NO genau symmetrisch mit EF , so wird die Spannung n' in NO bei der ersteren Belastungsart genau so groß sein, wie g'' . Es ist aber

$$g_{total} = g' + g'' = g' + n'.$$

Die durch die Belastung des ganzen Daches in einem Stabe entstehende Spannung ist also gleich der Summe derjenigen Spannungen, die durch Belastung der einen Dachhälfte in dem betrachteten Stabe und in dem symmetrisch zur Mitte liegenden Stabe entstehen. Wenn die symmetrisch zur Mitte liegenden Stäbe bei der Belastung einer Dachhälfte in gleichem Sinne beansprucht werden, also beide Zug oder beide Druck erhalten, so ist die Summe dieser Spannungen größer, als jede einzelne,

Fig. 297.

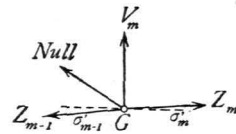
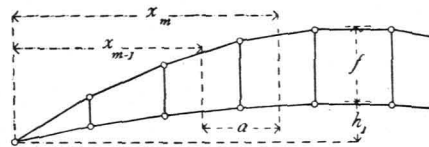
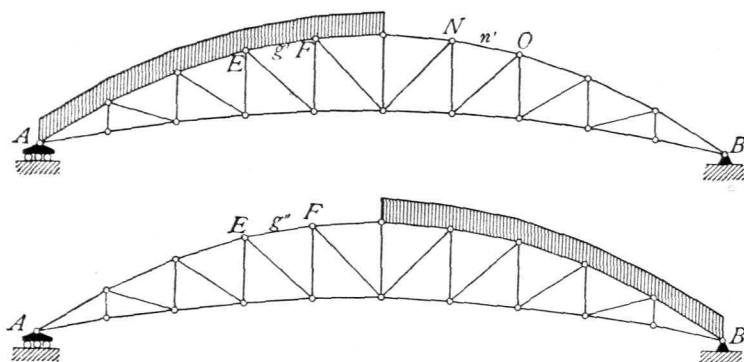


Fig. 298.



439.
Ermittlung
d. Spannungen
durch einseitige
Schneelast.

Fig. 299.



spannungen als ungünstige einzuführen sind, da nach der neuen Dimensionierungsmethode nicht nur die Maximal-, sondern auch die Minimalspannungen von Wichtigkeit sind. Wenn ein Mittelfeld mit zwei sich kreuzenden Zugdiagonalen vorhanden ist, so gilt die vorstehende Entwicklung ebenfalls; jedoch ist stets nur diejenige Diagonale des Mittelfeldes als vorhanden zu betrachten, welche bei der betreffenden Belastung Zug erleidet.

Was oben vom Sieldach angegeben wurde, gilt selbstverständlich von jedem aus zwei symmetrischen Hälften zusammengesetzten Dachstuhl.

γ) Stabspannungen bei Belastung durch Winddruck. Die durch Windbelastung entstehenden Stabspannungen sind sowohl für den Fall, dass der Wind von der Seite des beweglichen Auflagers kommt, wie für den Fall zu ermitteln, dass der Wind von der Seite kommt, an welcher das feste Auflager liegt. Die Berechnung ist nach Früherem leicht durchzuführen.

δ) Gegendiagonalen. Aus dem Belastungsgesetz für die Diagonalen geht hervor, dass jede Diagonale sowohl Zug, wie Druck erhalten kann; will man dies vermeiden, so sind Gegendiagonalen anzuwenden, worüber das im Kapitel »Träger« (Art. 399, S. 367) Gefagte auch hier gilt.

Beispiel. Für nachstehend näher beschriebenes Sieldach sind in den Fig. 300 bis 302 die Stabspannungen ermittelt, und zwar zeigt Fig. 300 das System und die Spannungsermittlung für Belastung durch das Eigengewicht, Fig. 301 die Spannungen für einseitige Schneelast, Fig. 302 diejenigen für Windbelastung von der Seite des beweglichen, bezw. festen Auflagers.

Die Hauptdimensionen und Belastungen des Dachstuhles sind: Stützweite $L = 24$ m; Anzahl der Felder gleich 6; Feldweite gleich 4 m; Pfeilhöhe der oberen Parabel $h = 4,8$ m, der unteren Parabel $h_1 = 2,4$ m; die Binderweite ist 4,2 m; die Dachdeckung Eisenwellblech auf Eifenpfetten.

Die Ordinaten der beiden Parabeln ergeben sich aus den Gleichungen 310:

$$\begin{array}{l} \text{für } x = 4 \quad 8 \quad 12 \quad 16 \quad 20 \text{ m} \\ \text{ist } y = 2,67 \quad 4,27 \quad 4,8 \quad 4,27 \quad 2,67 \text{ m,} \\ y_1 = 1,33 \quad 2,13 \quad 2,4 \quad 2,13 \quad 1,33 \text{ m.} \end{array}$$

$$\text{Ferner ist } \operatorname{tg} \alpha_1 = \frac{2,67}{4} = 0,6675, \quad \operatorname{tg} \alpha_2 = \frac{4,27 - 2,67}{4} = 0,4, \quad \operatorname{tg} \alpha_3 = \frac{4,8 - 4,27}{4} = 0,1325;$$

$$\alpha_1 = \infty 33^{\circ} 40', \quad \alpha_2 = \infty 22^{\circ}, \quad \alpha_3 = \infty 7^{\circ} 30';$$

$$\lambda_1 = \sqrt{4^2 + 2,67^2} = 4,81 \text{ m,} \quad \lambda_2 = \sqrt{4^2 + 1,6^2} = 4,31 \text{ m,} \quad \lambda_3 = \sqrt{4^2 + 0,53^2} = 4,04 \text{ m.}$$

Die Belastung durch das Eigengewicht beträgt pro 1 qm Horizontalprojection der Dachfläche 42 kg, demnach pro Knotenpunkt $G = 4,0 \cdot 4,2 \cdot 42 = 705,6 = \infty 700$ kg; die Belastung durch Schnee pro Knotenpunkt $S = 4 \cdot 4,2 \cdot 75 = 1260$ kg; die Belastung durch Winddruck ergibt sich nach Gleichung 273. folgender Mafsen:

$$\begin{array}{lll} \text{für } \alpha_1 = 33^{\circ} 40', & \alpha_2 = 22^{\circ}, & \alpha_3 = 7^{\circ} 30', \\ v = 57 \text{ kg,} & v = 34 \text{ kg,} & v = 11 \text{ kg.} \\ N_1 = 4,2 \lambda_1 \cdot 57 = \infty 1150 \text{ kg,} & N_2 = 4,2 \lambda_2 \cdot 34 = \infty 620 \text{ kg,} & N_3 = 4,2 \lambda_3 \cdot 11 = \infty 190 \text{ kg.} \end{array}$$

d. h. die Totalbelastung des Daches ist ungünstiger, als die einseitige. Werden beide Stäbe in entgegengesetztem Sinne beansprucht, so ist die Summe beider kleiner, als die größere von beiden, demnach die einseitige Belastung als ungünstigere einzuführen. Dabei ist zu beachten, dass in letzterem Falle beide Stäbe

440.
Ermittlung
d. Spannungen
durch
Winddruck.

441.
Gegen-
diagonalen.

442.
Beispiel.

Fig. 301.

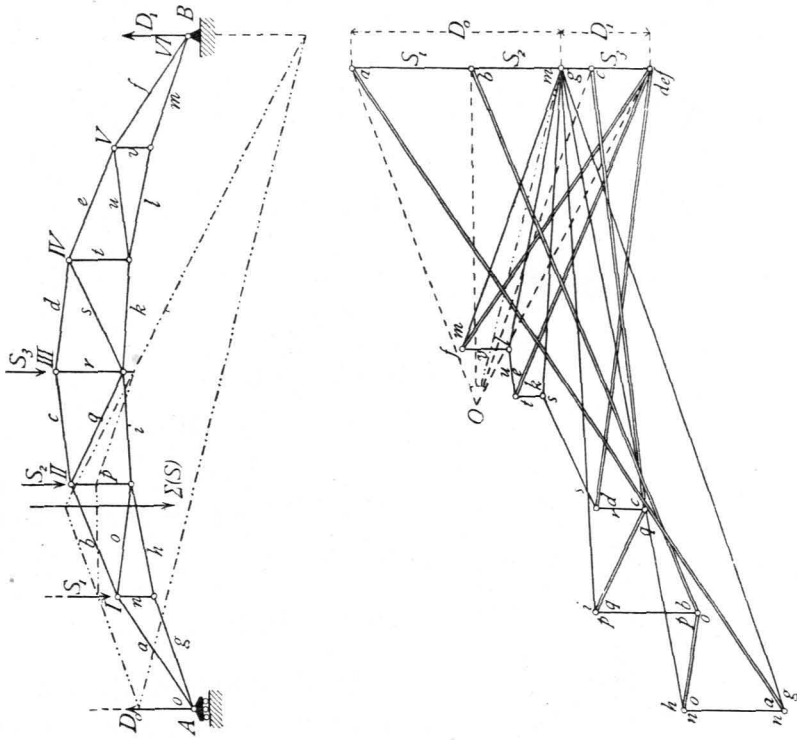


Fig. 300.

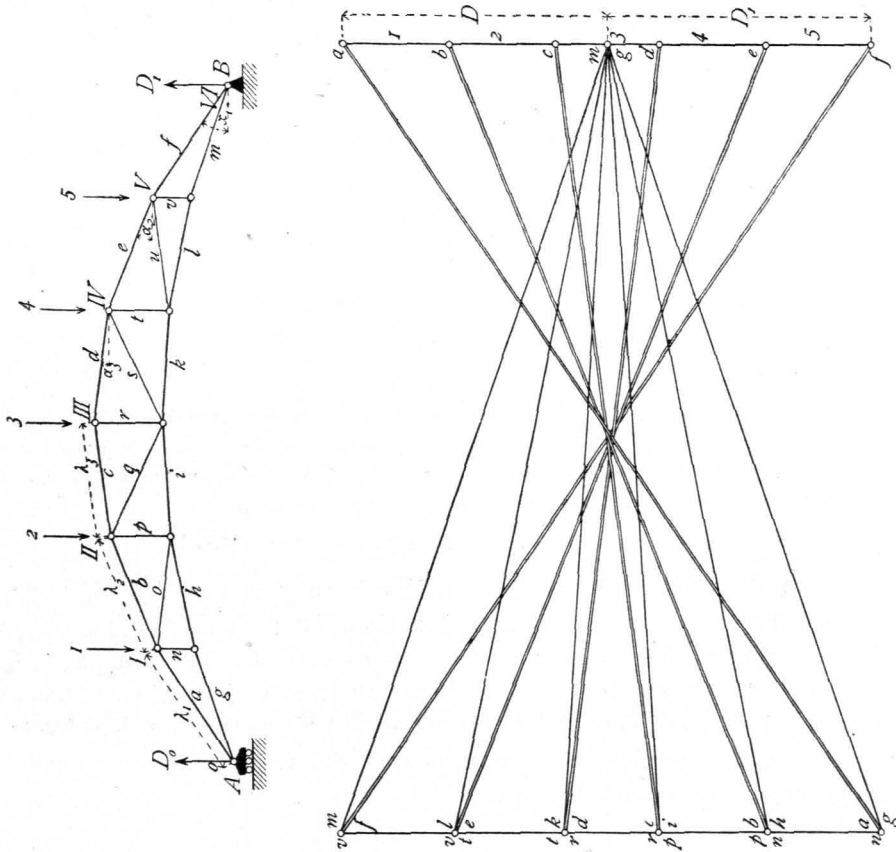
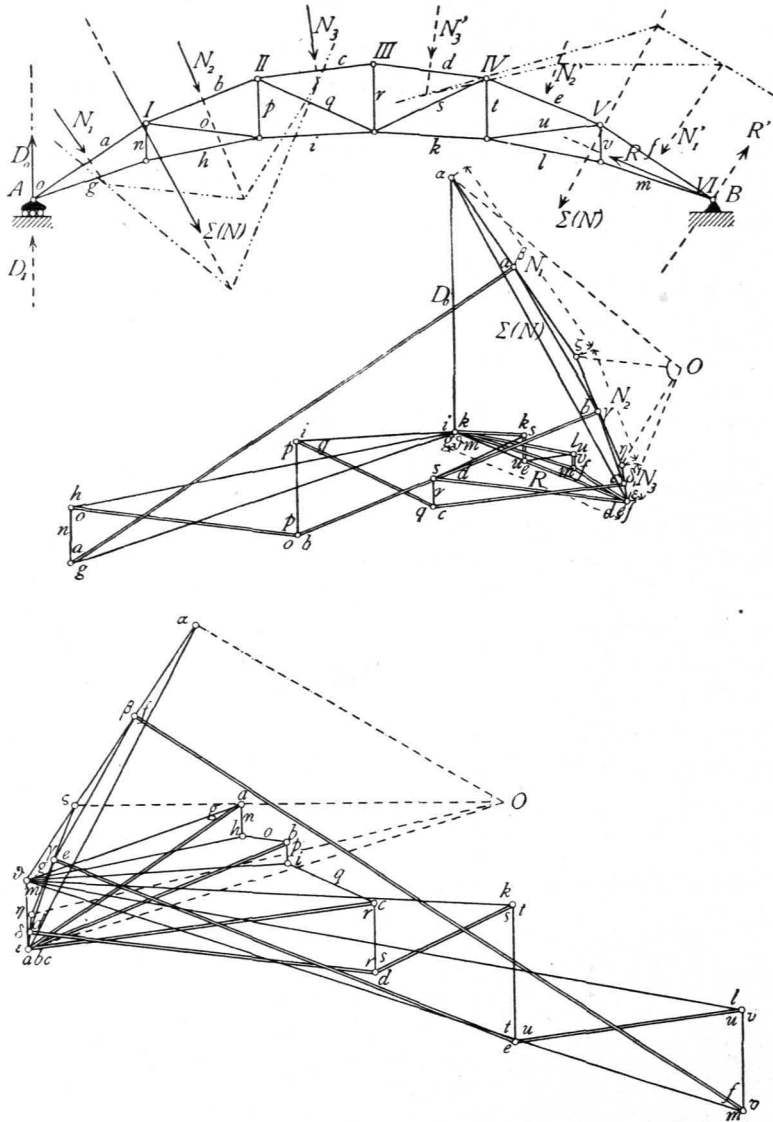


Fig. 302.



Aus den Werthen von N_1 , N_2 und N_3 ergeben sich leicht die Knotenpunktbelastungen. Von N_1 kommt die Hälfte auf den Knotenpunkt o , die andere Hälfte auf den Knotenpunkt I ; analog verhält es sich mit II und III . Die beiden in einem Knotenpunkte (I , bzw. II) wirkenden Lasten sind alsdann leicht zu einer Resultirenden zu vereinigen, wie in Fig. 302 geschehen.

f) Pultdächer.

443.
Spannungen.

Die Pultdächer sind Balkendächer, welche man sich aus den Satteldächern, bzw. Tonnendächern dadurch entstanden denken kann, daß die Hälfte an der einen Seite der verticalen Mittelaxe fortgelassen ist. Die Ermittlung der Belastungen, der Auflager-Reactionen und der inneren Spannungen, sei es auf dem Wege der Rechnung, sei es auf dem der Construction, ist genau in derselben Weise vorzunehmen, die in den vorstehenden Artikeln gezeigt ist, weshalb hier nicht weiter darauf eingegangen zu werden braucht.